

DIPLOMARBEIT / DIPLOMA THESIS

Titel der Diplomarbeit / Title of the Diploma Thesis

"Ist aus Torfmooren stammendes organisch gebundenes Eisen für marine Algen bioverfügbar?"

verfasst von / submitted by Hubert Wiesinger

angestrebter akademischer Grad / in partial fulfilment of the requirements for the degree of Magister der Naturwissenschaften (Mag.rer.nat.)

Wien, 2016 / Vienna, 2016

Studienkennzahl It. Studienblatt / degree programme code as it appears on the student record sheet:

Studienrichtung It. Studienblatt / degree programme as it appears on the student record sheet:

Betreut von / Supervisor:

A 190 423 445

Lehramtsstudium UF Chemie UF Biologie und Umweltkunde

ao. Univ.-Prof. Mag. Dr. Regina Krachler

Inhalt

| 1.Einleitung | 3 |
|---|----|
| | |
| 1.2 Marines Phytoplankton | 5 |
| 2 Marines Phytoplankton 3 Huminstoffe (HS) | |
| 2. Ziele der Diplomarbeit | 12 |
| 3. Material und Methoden | 13 |
| 3.1 Setup | 13 |
| | |
| 4. Ergebnisse | 18 |
| 4.1 Ergebnisse von <i>C. salina</i> in unterschiedlichen Medien | 18 |
| 4.2 Ergebnisse von C. salina mit unterschiedlichen HS- Konzentrationen | 22 |
| | |
| 5. Zusammenfassung | 28 |
| 6. Danksagung | 29 |
| 7. Lebenslauf | 30 |
| Eisen Marines Phytoplankton Huminstoffe (HS) ele der Diplomarbeit aterial und Methoden Setup Experimenteller Ablauf Ergebnisse Ergebnisse von C. salina in unterschiedlichen Medien Ergebnisse von D. lutheri in unterschiedlichen Medien Bergebnisse von D. lutheri in unterschiedlichen Medien sammenfassung anksagung ebenslauf bbildungsverzeichnis | 31 |
| 9. Abbildungsverzeichnis | 35 |
| 10. Anhang | 37 |

1.Einleitung

1.1 Eisen

Eisen, welches zur achten Gruppe des PSE gehört, ist das vierthäufigste Element in der Erdkruste nach Sauerstoff, Silizium und Aluminium, mit einen Gewichtsanteil von 6% (Press und Siever, 2008). Eisen ist ein essentielles Spurenelement für fast alle Organismen, nur für einige Arten von Bakterien ist nachgewiesen, dass sie Mangan statt Eisen in wichtigen Schlüsselproteinen benutzen können(Posey und Gherardini, 2000). In Organismen spielt es hauptsächlich als Fe²⁺ und Fe³⁺ eine wichtige Rolle. Der leichte Wechsel zwischen diesen beiden Oxidationszuständen:

$$Fe^{3+} + e^{-} \rightarrow Fe^{2+}$$
 $E^{0} = +0.77V$

ermöglicht es dem Eisen seine vielseitigen Rollen in biologischen Systemen zu erfüllen. Andererseits wirkt es im Überschuss durch seine Redoxeigenschaften stark toxisch, da es die Bildung von reaktiven Sauerstoffspezies katalysieren kann, wie z.B. Hydroxylradikale, welche Proteine, Lipide, Membrane und DNA schädigen (Dlouhy et al., 2013). Hauptsächlich kommt Eisen in Lösung in seiner dreiwertigen Form vor, da im basischen, aeroben Milieu Eisen schnell oxidiert wird. Dies spielt v.a. in marinen Umgebungen eine wichtige Rolle, da es essentiell für das Phytoplanktonwachstum ist (Martin und Fitzwater, 1988, DiTullio et al., 1993). Eisen tritt jedoch im marinen Oberflächengewässer nur in sehr geringen Konzentrationen auf, limitiert durch die geringe Löslichkeit von Eisen(III)hydroxid in aeroben, salinen Gewässern (Liu und Millero, 2002). Eisen erfüllt hierbei eine wichtige Rolle im Elektronentransport, im Sauerstoffmetabolismus, in der Stickstofffixierung, aber auch bei der Synthese von DNA, RNA und Chlorophyll (Weinberg, 1989).

Dies ist dadurch begründbar das im primordialen Ozean vor ca. 3*10⁹a während der Entstehung von photoautotrophen Leben, bedingt durch die reduktive Umwelt der frühen Erde und damit einhergehend einer guten Löslichkeit von Eisen im Ozean, Eisen leicht verfügbar war und somit, in Kombination mit dem leichten Wechsel zwischen den Oxidationszuständen Fe^{2+/}Fe³⁺, in wichtige basale Elektronentransportketten integriert wurde (Falkowski und Raven, 1997, Behrenfeld et al. , 2008).

Rezent haben, bedingt durch die schlechte Löslichkeit von Eisen in aerober und somit oxidativer Umgebung unter neutralem oder alkalischem pH, Zellen spezifische Strategien entwickelt das Metall zu assimilieren, wie die Reduktion von Fe(III)-Ionen zu den besser löslichen Fe(II)-Ionen oder die Bildung von Siderophoren (spezifische niedermolekulare Trägermoleküle, die eine hohe Affinität zu Fe besitzen und dieses komplexieren können) (Weinberg, 1989). Phytoplankton ist nicht in der Lage Siderophore zu bilden, jedoch Bakterien, die in enger Interaktion

mit dem Phytoplankton leben. Das Phytoplankton ist in der Lage, Siderophor gebundenes Fe aufzunehmen (Hopkins und Morel, 2009).

Durch Löslichkeitsversuche von Fe³⁺ konnte die Wichtigkeit von organischen Liganden, welche im Meerwasser in nM Bereich vorliegen, weiter untermauert werden (Wu und Luther, 1995). Es besteht ein Zusammenhang zwischen Fe-Aufnahmerate von marinen eukaryotischen Phytoplankton und der Konzentration an freien, nicht komplexierten Fe´ (Sunda und Huntsman, 1995). Bei diesem Modell bindet Fe´ an einem Oberflächenliganden an und wird anschließend durch die Plasmamembran transferiert. Die Aufnahmerate wird bestimmt durch die Rate des Ligandenaustausches zwischen der Fe-Spezies und eines Membrantransporters (Hudson und Morel, 1990).

Grundsätzlich gelangt Eisen auf verschiedene Wegen in die oberflächennahen Schichten der Ozeane: über atmosphärische Abscheidungen (z.B. Staub, vulkanische Asche, Meteoritenasche, usw.), über marine Prozesse (z.B. geschmolzenes Eis, das Aufsteigen von Tiefenwasser, usw.) oder durch Zuflüsse, wobei quantitativ v.a. Flüsse aus dem Einzugsgebiet von Mooren eine bedeutende Rolle spielen (Breitbarth et al., 2010; Krachler et al., 2010).

Ozeanisch gelöstes Fe stammt ursprünglich aus der Auflösung von eisenhaltigen Mineralien mit unterschiedlichen Quellen in und außerhalb des Ozeans. Bedingt durch die schlechte Löslichkeit und die effektive Aufnahme aus der Wassersäule sinkt der Eisengehalt drastisch, je weiter man von der Küste entfernt ist (Johnson et al., 1997). Frühe Studien identifizierten die Hauptquellen für Fe aus äolischen Transport und durch den Auftrieb von Tiefenwasser, welches eine höhere Eisenkonzentration hat als das Oberflächenwasser(Martin et. al, 1989).

Atmosphärische Langstreckentransporte durch äolischen Staub sind besonders bedeutsam für Fe, Mn und Co, welche in der Erdkruste relativ stark angereichert vorkommen. Die durchschnittliche Konzentration von gelösten Fe des atlantischen und pazifischen Ozeans ist bei 0,07 nmol kg⁻¹ und in einer Tiefe von 500m ist die Durchschnittskonzentration bei 0,76nmol kg⁻¹ (Johnson et al., 1997). In der Biomasse des Phytoplanktons wird Fe jedoch mit der Konzentration 1mmol Fe/mol C benötigt, was einer ca. 10⁶-fachen Anreicherung in der Zelle vgl. zum Medium entspricht und somit äußerst effektive Anreicherungsmechanismen voraussetzt(Morel und Price, 2003).

1.2 Marines Phytoplankton

Die Produktivität und das Wachstum von Phytoplankton sind maßgeblich von den Faktoren Licht, verschiedenen Nährstoffen und der Temperatur abhängig, wobei sich das Wachstum auf die euphotische Zone, mit einer Dicke von ca. 80 m im offenen Ozean, beschränkt, da nur hier genügend Licht für die Photosynthese vorhanden ist und somit die Photosyntheseleistung den respiratorischen Verbrauch übersteigt und somit mehr C fixiert als frei wird bzw. mehr O₂ frei als verbraucht wird. Diese dünne Schicht exportiert jedoch jährlich Milliarden an Tonnen CO₂ in die aphotische Zone, vermindert signifikant das Ausgasen von CO₂ aus aufsteigenden Tiefenwasser in die Atmosphäre und spielt durch die Abgabe von Schwefelverbindungen eine wichtige Rolle für die Wolkenbildung(Seguin et al., 2010). Es ist also eine Schicht, die großen Einfluss auf das Klima der Erde hat. So ist z.B. schon früh ein Potential als C-Senke für den südlichen Ozean vermutet worden (Wenk und Siegenthaler, 1985).

Im rezenten Ozean führt die NPP (Nettoprimärproduktion) durch marines Phytoplankton zur photosynthetischen Fixierung von ~45-50*10¹⁵g organischen Kohlenstoff pro Jahr, was ca. die Hälfte der Primärproduktion der Erde ist(~120*10¹⁵g), wovon ~16*10¹⁵g in die Tiefsee gelangen. Dieser Kohlenstofffluss ist getrieben durch eine Phytoplanktonbiomasse von ca. 10¹⁵g, was nur 0,2% der photosynthetisch aktiven Biomasse der Erde entspricht (Field et al., 1998). Somit ergibt sich eine durchschnittliche Umsatzrate von ca. einer Woche. Um diese hohe Teilungsrate aufrecht zu erhalten, die notwendig ist, um den hohen Druck der Weidegänger standzuhalten, müssen genügend essentielle Nährstoffe verfügbar sein (Falkowski et al. ,1998). Diese entsprechen dem Redfield Verhältnis mit C:N:P=106:16:1, wobei das Verhältnis von C:N:P im Plankton fast gleich ist dem umgebenden Meerwasser (Redfield, 1934) und somit wirken außerhalb der HNLC Regionen hauptsächlich N, P und Si als limitierende Faktoren. Da Phytoplankton die Basis der autochthonen Nahrungspyramide ist, erklärt sich die große Bedeutung des Redfield-Verhältnisses auf die Ozeanographie.

Zusätzlich zu C, N, P und Si (für Diatomeen) müssen jedoch noch Spurenelemente aufgenommen werden, welche mit einem Gehalt von <0,1 µM in der euphotischen Zone vorkommen. Die Konzentration sämtlicher Nährstoffe wird ebenfalls dadurch verringert, dass abgestorbene Zellen die nicht direkt abgebaut oder gefressen werden, absinken und dadurch sämtliche Nährstoffe, die sie enthalten, den oberflächennahen Wasser entzogen werden. Daraus folgt, dass sich der Gehalt an essentiellen Nährstoffe, aber auch der meisten Spurenelemente u.a. Fe verringert, bedingt durch die Primärproduktion und physikalische Prozesse, je näher man der Oberfläche kommt

(Bruland, 1980; Martin et al., 1989). Dies gilt auch für weitere Übergangsmetalle wie Kobalt, Nickel, Kupfer, Zink und Cadmium (Vraspir und Butler ,2009).

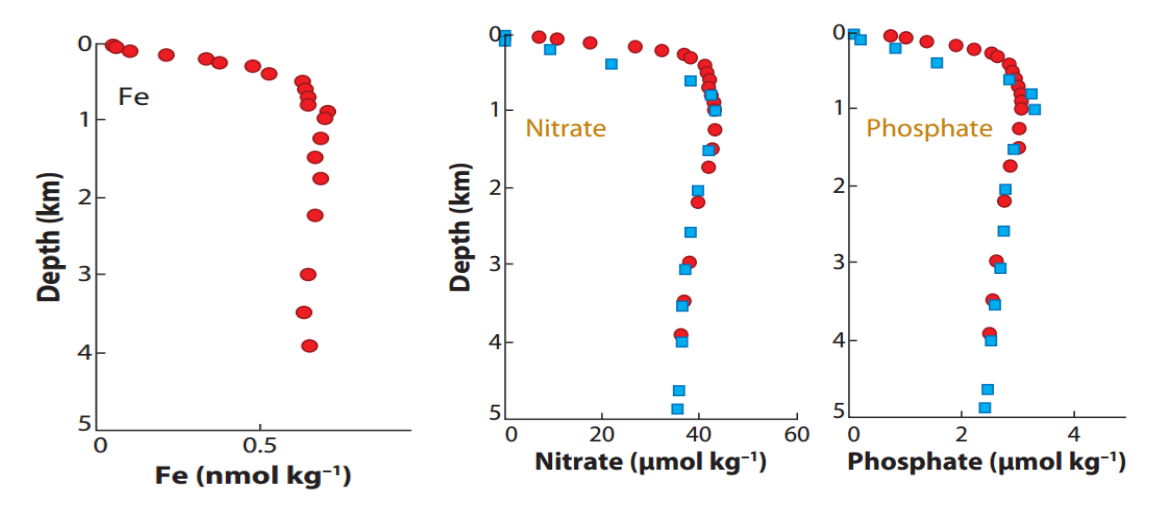


Abbildung 1:Tiefenprofil von Eisen, Nitrat und Phosphat. Daten aus dem nordpazifischen Ozean und den Golf von Alaska. Die blauen, quadratischen Datenpunkte sind von Bruland (1980), die roten Kreise von Martin et al. (1989). Graphik aus Vraspir und Butler (2009).

Das meiste organische Material, inklusive dem von Plankton produzierten mit einem Durchmesser <2µm(Picoplankton), wird an der Oberfläche remineralisiert. Essentielle Elemente werden so schnell durch Biota recycelt. Auch ein gewisser Teil der Nährstoffe, die durch den Abwärtsstrom abgestorbener Biomasse in die Tiefe gelangen, werden durch heterotrophe Bakterien remineralisiert und gelangen anschließend langsam über Diffusion wieder in die euphotische Zone (Morel und Price 2003).

Trotzdem ist Eisen der limitierende Faktor für die Primärproduktion in großen Teilen des Ozeans, den sogenannten HNLC Regionen(Martin und Fitzwater, 1988). In diesen Regionen, welche mehr als 20% der Weltmeere ausmachen, sind genug Makronährstoffe (PO₄, NO₃, SiO₃) für das Wachstum von Phytoplankton vorhanden, das Spurenelement Eisen wirkt jedoch begrenzend. Die großen HNLC Regionen befinden sich im subarktischen Ozean, im äquatorialen Pazifik und im antarktischen Ozean(südlicher Ozean)(vgl. Abb. 2 und 3).

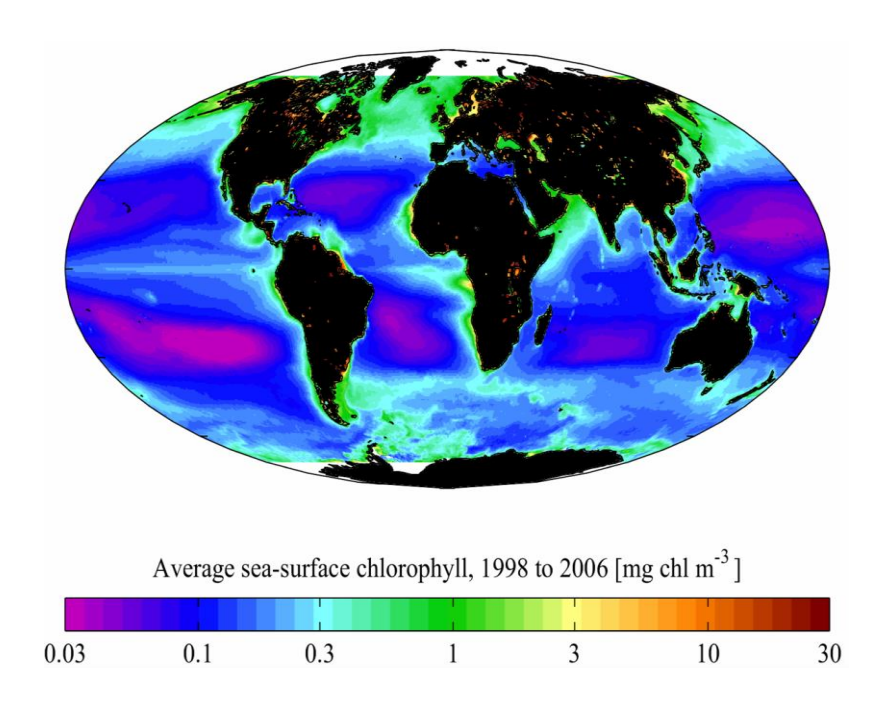


Abbildung 2: globale marine oberflächennahe Chlorophyllverteilung als Durchschnittswert von Janur 1998 bis Dezember 2006; Abb. aus World Ocean Atlas (2001) entnommen.

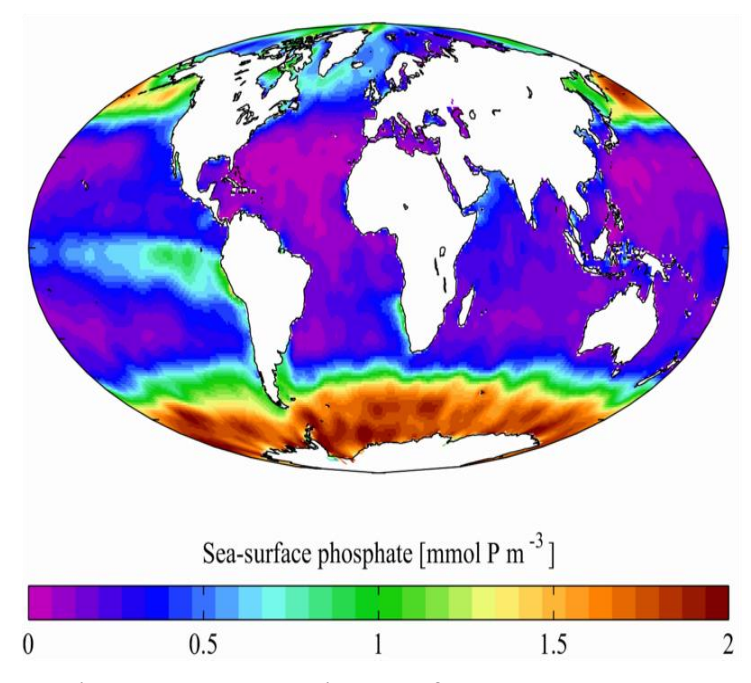


Abbildung 3:annuelles Mittel der globalen marinen oberflächennahen Phosphatkonzentration; Abb. aus World Ocean Atlas (2001) entnommen

Durch FeAXs (künstliche, mesoskale Eisenzugabe-Experimente) konnte endgültig bewiesen werden, dass Eisen der limitierende Faktor für das Phytoplanktonwachstum ist, da die Reaktion auf die Eisenzugabe zeigte, dass Fe die Dynamik des Algenwachstums kontrolliert, welche dann

den Kohlenstoff-, Stickstoff-, Silizium-, und Schwefelkreislauf beeinflusst, welche dann wiederum starke Auswirkungen auf das Klima der Erde haben.

Durch diese Experimente konnte die Auswirkung von Fe Zugabe auf die Primärproduktion und auf die Verwertung und den Export von Nährstoffen untersucht werden (Boyd et al., 2007). Die Experimente induzierten eine Diatomeen dominierte Algenblüte, begleitet von einer beachtlichen Senkung des CO₂-Gehalts des Oberflächenwassers.

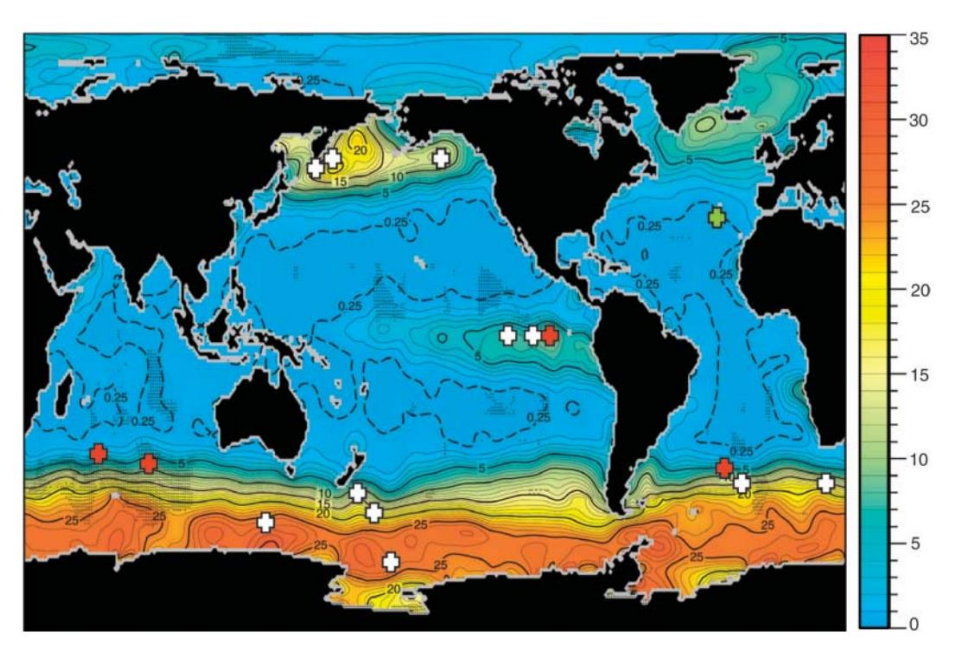


Abbildung 4: annuelles Mittel der globalen marinen oberflächennahen Nitratkonznetration in µmol l⁻¹ mit Markierungen für FeAXs (weißes Kreuz), FeNXs (rotes Kreuz) und FeeP (grünes Kreuz) (Boyd et al. ,2007).

FeAXs welche in Abb. 3 dargestellt sind: SEEDS I und SEEDS II (nordwestlicher Pazifik) SERIES (nordöstlicher Pazifik) IronEX I und IronEX II (äquatorialer Pazifik; II links von I) Eisen-Ex (polarer Atlantik) und EIFEX (südlich von Afrika), SOIREE (polare Gewässer südlich von Neuseeland), SOFEX-N (subpolare Gewässer südlich von Neuseeland) und SAGE (subpolare Gewässer, am nächsten zur Küste von Neuseeland) (Boyd et al, 2007).

Das genaue weitere Schicksal der produzierten Biomasse konnte jedoch im Rahmen der Experimente nur unzureichend aufgeklärt werden. Es gelang jedoch im südlichen Ozean ein Experiment durchzuführen, bei dem gezeigt werden konnte, dass nach dem Massenabstreben der Algen (vorwiegend Diatomeen)sich ein rasch sinkendes, schleimiges Aggregat aus verwickelten Zellen und Zellketten bildete, wobei ca. 50% als POC (partikulärer organischer Kohlenstoff) von der euphotischen Zone in eine Tiefe von 1000m absank (Smetacek et al., 2012).

Außerhalb von Algenblüten ist die Produktion und der POC Transport weitgehend entkuppelt und nur ca. 5-10% des POC gelangen in die Tiefe, wie mit Hilfe von ¹³⁴Th als Tracer herausge-

funden wurde (Buesseler, 1998). Kohlenstoff, welcher in die mesophelagische Zone(ca. 200-1000m Tiefe) oder tiefer gelangt, ist dort für Jahrzehnte bis Jahrhunderte von der Atmosphäre isoliert.

Für diese Arbeit wurde der marine Chlorophyta *Chlorella salina*, Butcher 1952 und der marine Haptophyta *Diacronema lutheri*, Droop (Basionym: *Monochrysis lutheri*, Droop 1953) verwendet. *D. lutheri* ist eine fast runde, einzellige, bewegliche Zelle mit einer gelblich grünen Plastide. Das Haptonema ist zwischen den haarigen anterioren Geißeln. Die Thylakoidlamellen sind parallel (Bendif, 2011). *C. salina* hat eine kugelförmige Gestalt, welche von einer dünnen, glatten Zellwand umgeben ist. Die Fortpflanzung erfolgt über sukzessive Teilungen der Mutterzellen in acht Tochterzellen, welche anschließend durch Aufplatzen der Zellwand freigesetzt werden. *C. salina* ähnelt morphologisch der im Süßwasser lebenden *C. vulgaris*, Beijerinck, aber die Zellwand ist dicker (Butcher, 1952).

1.3 Huminstoffe (HS)

HS sind eine komplexe und heterogene Mischung von polydispersen Materialien, welche im Boden, Sedimenten und im natürlichen Wasser durch biochemische und chemische Reaktionen während des Zerfalls und der Transformation von pflanzlichen und mikrobiellen Überresten gebildet wird (der Prozess wird Humifizierung genannt). Pflanzliches Lignin und seine Transformationsprodukte, Polysaccharide Melanin, Cutin, Proteine, Lipide, Nukleinsäuren, usw., sind wichtige Komponenten, welche an diesem Prozess teilnehmen. HS sind chemisch reaktiv, jedoch persistent gegenüber biologische Zersetzung. Man kann drei Hauptaktionen unterscheiden:

- Humine können weder mit einer starken Säure noch mit einer starken Base extrahiert werden.
- Huminsäuren (HA) und Fulvosäuren (FA) sind unter Verwendung einer starken Base aus dem Boden oder anderen festen Phasen extrahierbar. Aquatische HS enthalten nur HA und FA.
- HA sind unlöslich bei einem tiefen pH und fallen beim Ansäuern der Lösung mit HCl auf pH=1 aus (IHSS, 2007).

Für diese Arbeit ist der Eintrag durch Flüsse, welche aus Mooren kommen, von besonderem Interesse. Hierbei bilden Huminstoffe mit Metallen sehr stabile Chelatkomplexe.

Huminstoffe sind mit ca. 25% des gesamten organischen Kohlenstoffes der Erde und mit ca. 50% des gesamten organischen Kohlenstoffes in Süßgewässern und Ozeanen die häufigsten organischen Konstituenten in der terrestrischen und aquatischen Umwelt(Aiken et. al., 1985).Der

totale C-Gehalt auf der Erde in Huminstoffe ist somit mit ca. 55*10¹⁴ kg um mehr als das Zehnfache höher als der gesamte Kohlenstoff der Landbiomasse mit ca. 4,8*10¹⁴kg (Stevenson und Cole, 1999).

Huminstoffe entstehen v.a. als Abbauprodukte von terrestrischen Landpflanzen und leiten sich von der Ausgangssubstanz Lignin ab. Dies konnte durch die basische Kupferoxid-Oxidation (Ertel, 1984) oder durch die Thermochemolyse mit TMAH (Tetramethylammoniumhydroxid) (del Rio und Hatcher, 1995) gezeigt werden. Hierbei entstehen aus aquatischen Huminsubstanzen als Oxidationsprodukte phenolische Carboxylsäuren, welche dieselbe Struktur aufweisen, wie die Produkte, die bei der Oxidation von Lignin entstehen. Ebenso konnte durch die Verwendung von hochauflösender MS, also einer nicht abbauenden Methode, an einer SRFA(Suwanne River fulvic acid)-Probe die Lignin-Abstammungshypothese bestätigt werden, da viele Peaks an derselbem Masse auftraten wie bei einem abgebauten Extrakt aus Lignin (Kujawinski et al., 2002).

Die Stabilität und Löslichkeit von HS in mariner Umgebung ist stark abhängig von deren Struktur. Ebenso ist der Gehalt an HS in Flüssen unterschiedlich, wobei v.a. Flüsse, welche aus Mooren stammen und durch silikatisches Gestein fließen, einen großen Anteil an der Eisenversorgung der Meere tragen. Diese haben einen gelösten Fe-Gehalt von mehr als 8μmol L⁻¹.Unter der Annahme, dass 5% des Wassers, welches über Flüsse ins Meer gelangt, aus Mooren stammt, kommt man auf einen Eintrag von 15*10⁹ mol y⁻¹ (Krachler et al., 2005).

Es ist bekannt, dass aquatische Huminstoffe einen fördernden Effekt auf die mikrobielle Aktivität haben da sie als eine N-Quelle benutzt werden können (Hertkorn et al., 2002). Auch konnte gezeigt werden, dass zumindest manche Basidiomycota Huminstoffe unter C-limitierenden Bedingungen als C-Quelle nutzen können und das HS sich förderlich auf deren Wachstum auswirken, sowohl unter C-limitierenden als auch unter normalen Bedingungen (Klein, 2014).

Zu den in dieser Arbeit untersuchten Einfluss von HS auf das Wachstum von marinen Phytoplankton unter Fe-Mangel gibt es jedoch unterschiedliche Ergebnisse ob HS das Wachstum fördern oder hindern, je nach verwendeten HS. Bährs und Steinberg(2012) untersuchten den Einfluss von HuminFeed[®] und HS1500 an zwei verschiedenen Grünalgen und zwei Cyanobakterien. Bei diesen Untersuchungen wurde weder das Wachstum noch die Photosyntheseleistung durch die HS inhibiert sondern bei den beiden Grünalgen sogar gefördert. Ebenso stimulierten niedrige Konzentrationen HS das Wachstum besser als hohe Konzentrationen.

HS in aquatischen Flüssen, die aus Torfmooren kommen 'ist der Gehalt an "wirklich" gelösten Eisen mit ca. 3300nM mehr als 80 mal höher wie in einen durchschnittlichen Fluss, welcher ca. 40nM enthält (Krachler et al., 2010). Unter "wirklich" gelösten Eisen wird jene Fraktion ver-

standen, welche nach der Mischung mit Meerwasser noch in Lösung bleibt. Hierbei handelt es sich v.a. um Partikeln mit einer Masse von kleiner als 10kDa. Durch die Erhöhung der Salinität und des pH Wertes bei der Vermischung von Flusswasser mit Meerwasser im Mündungsgebiet werden ca. 80% des Eisen ausgefällt wie Krachler et al. (2010) durch Mischungsversuche zeigen konnten.

Das Fe, welches in Lösung bleibt, ist an starke Liganden gebunden. Auch in Versuchen mit kultivierten marinen Mikroorganismen konnten solche Chelatoren in dem Medium nachgewiesen werden. Die Komplexbildungskonstanten von Huminstoffen sind durchaus vergleichbar mit jenen von Siderophoren. Einige der Siderophore wurden charakterisiert und es wurde festgestellt, dass diese Ligandensysteme Hydroxamate und Katechole als funktionelle Gruppen enthalten (Martinez et al., 2001). Einige Siderophore besitzen lipophile Fettsäurereste mit variabler Länge und als Kopf eine α-Hydroxysäure zusätzlich zum Hydroxamat. In Abwesenheit von Fe bilden sie Mizelle, bei Zugabe von Fe kommt es zu einer spontanen Phasenumwandlung und diese Siderophore formen Vesikel (Martinez et al., 2000).

2. Ziele der Diplomarbeit

Die Hypothese war, dass zu mindestens einige Arten von marinen Phytoplankton in der Lage sind, durch Huminstoffe komplexiertes Eisen aus Torfmooren aufzunehmen und zu verwerten. Um diese Hypothese zu verifizieren, wurden Proben von *C. salina* in einem Medium ohne Eisen gegeben und mit Huminstoffen versetzt. Durch den Vergleich des Wachstums in diesem Medium mit dem Wachstum von *C. salina* mit dem künstlichen Komplexbildner EDTA und gänzlich ohne Eisen bzw. ohne EDTA können Rückschlüsse darauf gezogen werden, ob das in den Huminstoffen enthaltene Eisen verwertbar ist. Das Wachstum sollte über die Zellzahlen bestimmt werden.

Die zweite Hypothese, die überprüft werden sollte, war, ob und wie sich unterschiedliche Konzentrationen von Huminstoffen auf das Wachstum von *C. salina* auswirken. Dazu wurden unterschiedliche Konzentrationen an Huminstoffen zu den Proben gegeben (1/10, 1/5-mal so viel) und mit dem Wachstum verglichen, wenn man dieselbe Konzentration an Eisen mit EDTA zusetzt. Diese niedrigeren Konzentrationen sind auch näher an natürlich vorkommenden Konzentrationen und es ist somit interessant, auf welche Art und Weise sich die Kurven verändern, sobald man mit der Konzentration nach unten geht.

Ein weiteres Ziel war, zu überprüfen, ob die Huminstoffe auf verschiedene Phytoplanktonarten eine unterschiedliche Wirkung haben. Dazu wurde ein Versuch mit der marinen Phytoplanktonart *Diacronema lutheri* unter den gleichen Bedingungen wie zuerst mit *C. salina* durchgeführt, um anschließend die Wachstumskurven vergleichen zu können. Da *D. lutheri* dem Phylum Haptophyta entstammt, während *C. salina* ein Chlorophyta ist, kann man hier von zwei grundverschiedenen Taxa ausgehen. Gerade hinsichtlich Huminstoffen können sogar sehr eng verwandte Taxa wie z.B. *Monoraphidium convolutum* und *M. minutum*, zwei nahe verwandte Chlorophyta, sehr verschiedene Wachstumsreaktionen zeigen (Karasyova et al, 2007).

3. Material und Methoden

3.1 Setup

Alle Untersuchungen wurden mit den marinenen Phytoplanktonarten *Chlorella salina* Butcher oder *Diacronema lutheri* (Droop) Bendif & Véron durchgeführt, welche aus Sammlung von Algenkulturen (SAG) von der Universität Göttingen erhalten wurde. Sämtliche Experimente wurden in sterilisiertem 35‰ künstlichem Meerwasser (Kester et al., 1967) und mit modifizierten f/2 Medium (Guillard und Ryther, 1962, Guillard, 1975) ausgeführt (s. Abb. 3 und 4).

| Salz | Molekulargewicht | g/kg Lösung | mol/l |
|--------------------------------------|------------------------|-------------|-----------------------|
| | in g mol ⁻¹ | | |
| NaCl | 58,44 | 23,926 | 0,409 |
| Na ₂ SO ₄ | 142,04 | 4,008 | 2,8*10-2 |
| KCl | 74,56 | 0,677 | 9,1*10 ⁻³ |
| NaHCO ₃ | 84,00 | 0,196 | 2,3*10-3 |
| KBr | 119,01 | 0,098 | 8,2*10 ⁻⁴ |
| H ₃ BO ₃ | 61,83 | 0,026 | 4,0*10 ⁻⁴ |
| NaF | 41,99 | 0,003 | 7,14*10 ⁻⁵ |
| MgCl ₂ *6H ₂ O | 203,33 | 10,831 | 0,053 |
| CaCl ₂ *2H ₂ O | 147,03 | 1,518 | 0,010 |
| SrCl ₂ *6H ₂ O | 266,64 | 0,024 | 9,0*10 ⁻⁵ |

Abbildung 5: Zusammensetzung des künstliches Meerwasser nach Kester et al. ,1967

| Salz | Molekulargewicht | g/kg Stammlösung | Konzentration in mol/l | |
|---|------------------------|------------------|------------------------|--|
| | in g mol ⁻¹ | | im finalen Medium | |
| NaNO ₃ | 84,99 | 75 | 8,82*10 ⁻⁴ | |
| NaH ₂ PO ₄ *H ₂ O | 137,99 | 5 | 3,62*10 ⁻⁵ | |
| Na ₂ SiO ₃ *9H ₂ O | 284,20 | 30 | 1,06*10 ⁻⁴ | |
| CuSO ₄ *5H ₂ O | 249,68 | 9,8 | 3,93*10 ⁻⁸ | |
| ZnSO ₄ *7H ₂ O | 287,54 | 22 | 7,65*10 ⁻⁸ | |
| CoCl ₂ *6H ₂ O | 237,93 | 10 | 4,20*10 ⁻⁸ | |
| MnCl ₂ *4H ₂ O | 197,90 | 180 | 9,10*10 ⁻⁷ | |
| NaMoO ₄ *2H ₂ O | 442,86 | 6,3 | 2,60*10 ⁻⁸ | |

| Na ₂ EDTA | 372,24 | 4,36 | 1,17*10 ⁻⁵ |
|--------------------------------------|---------|------|------------------------|
| FeCl ₃ *6H ₂ 0 | 270,29 | 3,15 | 1,17*10 ⁻⁵ |
| Cyanocobalamin (Vitamin B12) | 1355,38 | 1 | 3,69*10 ⁻¹⁰ |
| Biotin (Vitamin H) | 244,31 | 1 | 2,05*10 ⁻⁹ |
| Thiamin*HCl (Vitamin B1) | 337,27 | 0,2 | 2,96*10 ⁻⁷ |

Abbildung 6: modifiziertes f/2 Medium nach Guillard und Ryther, 1962

Für die Herstellung der Spurenelementlösung wurde jeweils 1ml der Metalllösungen zusammen mit den 3,15 g FeCl3*6H2O und den 4,36g Na2EDTA mit dest. Wasser auf einen Liter aufgefüllt. Für die Vitaminlösung wurden 200mg Thiamin*HCl zusammen mit 1ml Biotin und 1ml Cyanocobalamin mit dest. Wasser auf einen Liter aufgefüllt. Zur Herstellung des Finalmediums wurde jeweils 1ml NaNO₃, NaH₂PO₄, Na₂SiO₃, Spurenelement- und Vitaminstammlösung mit 1l künstlichem Meerwasser vermischt.

Es wurde ≥99,999% reines NaCl von Fluka verwendet (Hexacyanoferrat (II)-Gehalt ≤ 1mg/kg) für die Spurenelement-Lösung wurde Eisen(III)chloridhexahydrat (puriss. P.a. ACS;98,0-102%(RT)) ebenfalls von Fluka verwendet. Es wurde zuerst eine Lösung mit 400ml Milipore-Wasser und dem Magnesium-, Calcium- und Strontiumsalz (volumetrische Salze) hergestellt. Die restlichen Salze (gravimetrische Salze) wurden extra in 600ml Milipore-Wasser gelöst. Anschließend wurden unter kontinuierlichen Rühren die beiden Lösungen langsam vermischt, um ein Ausfallen von Carbonaten zu vermeiden.

Die Kulturen wuchsen in 250ml DURAN Glasgefäßen mit GL 45 verschlossen mit PP Schraubverschluss. In die Deckel wurde mittels Schere ein ca. 0,5 cm breites Loch gebohrt, durch welches jeweils eine Pasteurpipette zur Belüftung gesteckt wurde. In die Löcher wurden kleine Schlauchstücke(Silikon 4/6mm) gesteckt, um einen möglichst guten Abschluss zwischen Pasteurpipette und Deckel zu gewährleisten und somit die Evapotranspiration zu minimieren.

Die Pasteurpipetten wurden mittels Schlauch (Silikon 4/6mm), welcher mittels Parafilm dauerhaft mit der Pipette verbunden wurde, kontinuierlich mit gefülterter Druckluft (Filter: Sartorius stedim 0,2µm mit vorgeschalteten 20 cm langen Kunststoffrohr befüllt, mit Aktivkohle abgedichtet mit Watte; Schlauch zwischen Aktivkohlefilter und Drucklufthahn: Siltube TR 60 6*10mm) versorgt, da in Voruntersuchungen ohne Belüftung der pH Wert innerhalb von wenigen Tagen stark angestiegen ist, was Kalkausfällung zur Folge hatte.

Die Temperatur wurde mittels Wasserbad auf 22°C konstant gehalten. Die Algen wurden mittels Magnetrührer ständig gerührt und während der Experimente mit Leuchtstofflampen (Osram L 58W/77 Fluora; Lichtstrom:2250 Im) in einem 16:8 Licht:Dunkel- Zyklus bestrahlt.

3.2 Experimenteller Ablauf

Vor den Versuchen wurde der pH Wert des Meereswassers mittels 0,1M NaOH Lösung auf 8,3 eingestellt .Nach Zugabe des f/2 Mediums wurde das Meerwasser durch einen 0,45 μm Cellulose-Acetat Filter sterilisiert und jeweils 200ml pro Kultur verwendet. Aus dem Inokulum wurde so viel Volumen zu den einzelnen Kulturen zugefügt, dass eine Anfangskonzentration von 9,2*10⁴ bei *Chlorella salina* und 6,7*10⁴ bei *Diacronema lutheri* gegeben war. Sämtliche Versuche wurden in Tripletts durchgeführt. Die Gefäße wurden zuvor mittels 2M HNO₃, anschließend mit 96% Ethanol und zweimal mit Milipore-Wasser gewaschen.

Die Zellzahlen wurden mittels Zählkammer (Neubauer improved) bestimmt und anschließend nach folgender Formel berechnet:

$$Zellen\ pro\ ml = \frac{Anzahlder Zellen}{ausgez \"{a}hlte Zellen (mm^2)*Kammertie fe (mm)*Verd\"{u}nnung}*1000$$

Die *Diacronema lutheri* wurden, um sie leichter zählen zu können, da sie sich bewegen, zuvor getötet. Dazu wurde 1ml Lösung entnommen und mit 1µl Formalin-Lösung (10%, neutral gepuffert, mit ca. 4% Formaldehyd) versetzt. Nach dem Auftragen auf die Zählkammer wurde ca. 1 min gewartet, bis alle Zellen abgesunken waren und anschließend wurde ausgezählt. Zur Zählung wurde das Mikroskop Reichert Jung Neovar 2 verwendet.

Im ersten Versuch mit *Chlorella salina* (26.05.2015 bis 09.06.2015) wurden folgende Medien angesetzt:

| Mediumsbezeichnung | [Fe] in in mol 1-1 im Finalme- | Komplexbildner (Name) in |
|--------------------|--------------------------------|------------------------------|
| | dium | mol 1-1 |
| Ideales Medium | 1,17*10 ⁻⁵ | (EDTA) 1,17*10 ⁻⁵ |
| 1/5 Huminstoffe | 1,17*10 ⁻⁵ | (Huminstoffe) |
| Ohne EDTA | 1,17*10 ⁻⁵ | 0 |
| Ohne Eisen | 0 | (EDTA) 1,17*10 ⁻⁵ |

Im zweiten Versuch mit *Chlorella salina*(23.06.2015 bis 14.07.2015) wurden folgende Medien verwendet:

| Mediumsbezeichnung | [Fe] in in mol l-1 im Finalme- | Komplexbildner (Name) in |
|--------------------|--------------------------------|------------------------------|
| | dium | mol l-1 |
| Ideales Medium | 1,17*10 ⁻⁵ | (EDTA) 1,17*10 ⁻⁵ |
| Huminstoffe | 1,17*10 ⁻⁵ | (Huminstoffe) |
| Ohne EDTA | 1,17*10 ⁻⁵ | 0 |
| Ohne Eisen | 0 | (EDTA) 1,17*10 ⁻⁵ |
| 1/10 Huminstoffe | 1,17*10 ⁻⁶ | (Huminstoffe) |
| 1/10 Eisen | 1,17*10 ⁻⁶ | (EDTA) 1,17*10 ⁻⁶ |

Im dritten Versuch mit *Diacronema lutheri* (14.09.2015 bis 05.10.2015)wurden folgende Ansätze verwendet:

| Mediumsbezeichnung | [Fe] in in mol l-1 im Finalme- | Komplexbildner (Name) in |
|--------------------|--------------------------------|------------------------------|
| | dium | mol l-1 |
| Ideales Medium | 1,17*10 ⁻⁵ | (EDTA) 1,17*10 ⁻⁵ |
| Huminstoffe | 1,17*10 ⁻⁵ | (Huminstoffe) |
| Ohne EDTA | 1,17*10 ⁻⁵ | 0 |
| Ohne Eisen | 0 | (EDTA) 1,17*10 ⁻⁵ |

Die benötigten Huminstoffe wurden gewonnen, indem 11 Moorwasser aus dem Craggy Burn Fluss (Schottland) bis fast zur Trockene einrotiert wurde (nicht ganz, da sonst die Rückstände nur schwer wieder lösbar sind). Anschließend wurden 20 ml künstliches Meerwasser zugegeben und für mindestens 24h dunkel im Kühlschrank gelagert. Darauffolgend wurde mit künstlichem Meerwasser auf 50ml aufgefüllt.

Die braune Lösung wurde durch einen 0,45 μm Cellulose-Acetat Filter laufen gelassen, um den Niederschlag zu entfernen. Dann wurden der Probe 3 ml entnommen und mit 1ml konz. Salpetersäure (69.0%; TraceSELECT; von Fluka) angesäuert, um den Eisengehalt der Probe mittels Flammen-AAS zu bestimmen.

Die filtrierten Lösungen wurden dunkel im Kühlschrank gelagert und es wurde regelmäßig kontrolliert, ob sich partikuläres Material bildet. Dabei wurden Proben mit Niederschlagsbildung verworfen, die maximale Lagerzeit überstieg nie 4 Wochen.

Aus den Ergebnissen der Flammen-AAS wurde die Eisenkonzentration berechnet und zu den Huminstoff-Proben ein Volumen an Huminstoff Konzentrat zugegeben, sodass die Eisenkonzentration der des Idealmediums entspricht (1,17*10⁻⁵ mol 1⁻¹). Die Versuchsdauer betrug 21 Tage.

4. Ergebnisse

Die Flammen-AAS Messungen führten zu folgenden Ergebnissen: Der Eisengehalt der ursprünglichen Probe aus dem Craggy Burn beträgt 2,375 mg Eisen pro Liter. Die Konzentration in den einrotierten Proben nach der Mischung mit künstlichem Meerwasser betrug zwischen 4,8 und 6,5 mg Eisen pro Liter.

4.1 Ergebnisse von C. salina in unterschiedlichen Medien

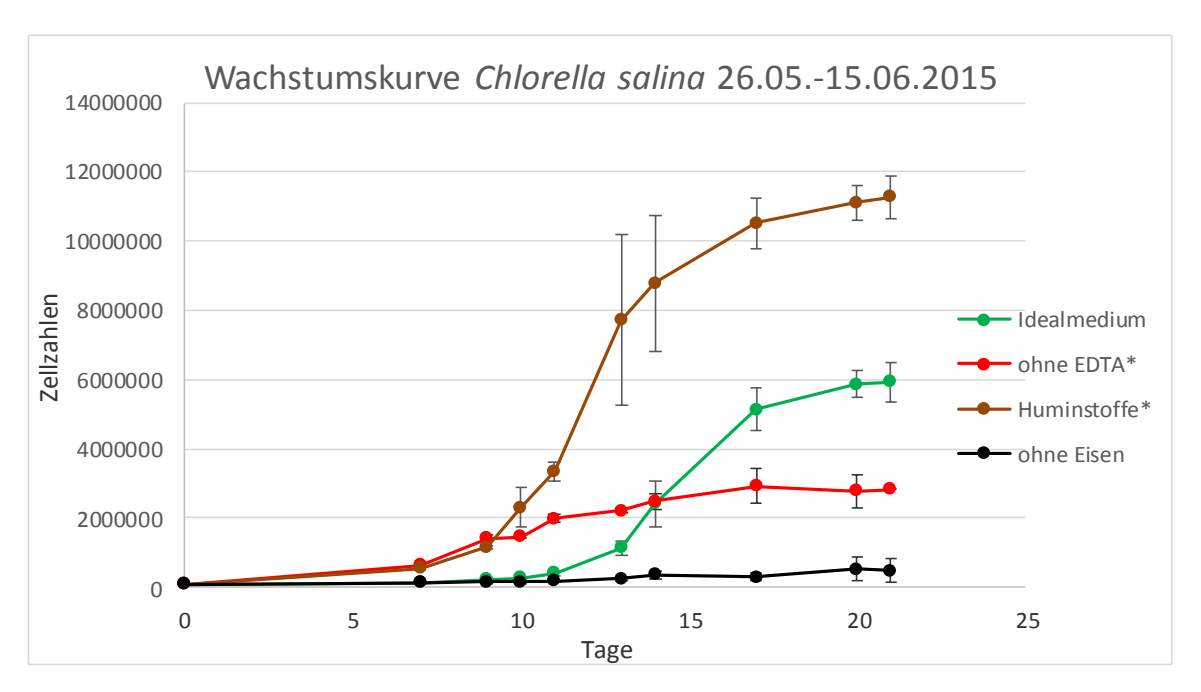


Abbildung 7: Wachstumskurve von *Chlorella salina* vom 26.05. bis 15.06.2015, wobei in brauner Farbe das Medium mit Huminstoffe(+HS;-Fe;-EDTA) dargestellt ist, in grüner Farbe das Idealmedium (+Fe;+EDTA;-HS), in roter Farbe ohne EDTA (-EDTA;+FE;-HS) und in schwarzer Farbe das Medium ohne Eisen (-Fe; +EDTA;-HS). Für die Huminstoffe und ohne EDTA wurden Dupletts verwendet, markiert durch * da ein Ausreißer gestrichen wurde(vgl. Abb. 7), sonst Tripletts.

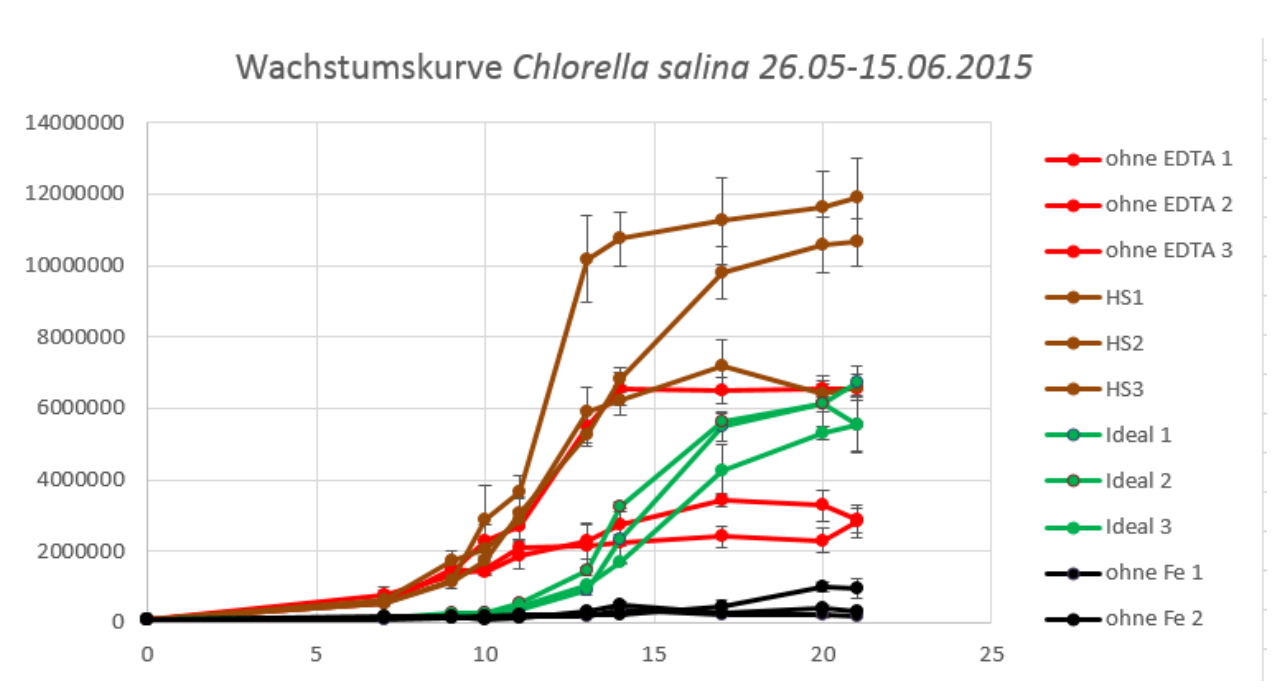


Abbildung 8: Wachstumskurve von *Chlorella salina* vom 26.05. bis 15.06.2015. Beschriftung wie in Abb. 6. Dargestellt sind die einzelnen Proben.

| | 0 | 7 | 9 | 10 | 11 | 13 | 14 | 17 | 20 | 21 |
|-------------|-------|--------|---------|---------|---------|----------|----------|----------|----------|------------|
| ohne EDTA 1 | 92000 | 610000 | 1392500 | 2285417 | 2710417 | 5487500 | 6550000 | 6487500 | 6550000 | 6550000 |
| ohne EDTA 2 | 92000 | 520000 | 1505000 | 1422500 | 1875000 | 2291667 | 2727778 | 3434152 | 3269444 | 2858333 |
| ohne EDTA 3 | 92000 | 760000 | 1337500 | 1505208 | 2115972 | 2156250 | 2233333 | 2412500 | 2293333 | 2825000 |
| HS1 | 92000 | 522500 | 1192500 | 2899148 | 3637500 | 10175000 | 10750000 | 11250000 | 11633333 | 11895833 |
| HS2 | 92000 | 627500 | 1735000 | 2058333 | 2897917 | 5925000 | 6225000 | 7175000 | 6400000 | 6583333 |
| HS3 | 92000 | 560000 | 1125000 | 1729167 | 3072222 | 5272917 | 6816667 | 9800000 | 10600000 | 10650000 |
| Ideal 1 | 92000 | 110000 | 212500 | 287500 | 350000 | 910000 | 2313333 | 5487500 | 6150000 | 6750000 |
| Ideal 2 | 92000 | 145000 | 277500 | 285000 | 540000 | 1440000 | 3258333 | 5637500 | 6116667 | 5533333,33 |
| Ideal 3 | 92000 | 142500 | 212500 | 240000 | 440000 | 1060000 | 1670000 | 4269643 | 5316667 | 5516667 |
| ohne Fe 1 | 92000 | 95000 | 122500 | 165000 | 182500 | 195000 | 373333 | 202500 | 200000 | 190000 |
| ohne Fe 2 | 92000 | 170000 | 187500 | 105000 | 142500 | 330000 | 513333 | 272500 | 406667 | 316667 |
| ohne Fe 3 | 92000 | 150000 | 145000 | 182500 | 207500 | 205000 | 223333 | 442500 | 1000000 | 963333 |

Tabelle 1: Gezählte Zellzahlen von Chlorella salina von 26.05-15.06.2015

| | 0 | 7 | 9 | 10 | 11 | 13 | 14 | 17 | 20 | 21 |
|----------|-------|--------|---------|---------|---------|---------|---------|----------|----------|----------|
| Ci | 92000 | 132500 | 234167 | 270833 | 410830 | 1136667 | 2413889 | 5131548 | 5861111 | 5933333 |
| ohne EDT | 92000 | 640000 | 1421250 | 1463854 | 1995486 | 2223958 | 2480556 | 2923326 | 2781389 | 2841667 |
| HS | 92000 | 541250 | 1158750 | 2314157 | 3354861 | 7723958 | 8783333 | 10525000 | 11116667 | 11272917 |
| ohne Fe | 92000 | 138333 | 151667 | 150833 | 177500 | 243333 | 370000 | 305833 | 535556 | 490000 |

Tabelle 2: Zellzahlen von Chlorella salina, wobei hier jeweils der Mittelwert der Tripletts angegeben ist.

Man erkennt, dass nach einer Woche Wachstum sich die Zellzahlen der Proben ohne EDTA und mit HS sich von der Anfangskonzentration von 9,2*10⁴ auf ca. 60*10⁴ erhöht haben was einer Zunahme um das ca. 6,5fache entspricht, wobei die Zellen ohne EDTA sich am stärksten vermehrt haben. Die Kulturen mit dem Idealmedium und ohne Eisen haben währenddessen stagniert. Dieses Veralten setzt sich bis zum Tag 10 fort. Hier bildet sich dann der erste signifikante Unterschied zwischen den Zellzahlen im Idealmedium und dem Medium ohne Fe , die Zellzah-

len im Idealmedium beginnen ab hier stärker zu steigen. Die Phase des exponentiellen Wachstums ist bei den HS-Medium zwischen Tag 9 und 15, während bei den Medien ohne EDTA nur lineares Wachstum stattfindet, mit der Ausnahme der –EDTA Probe 1, die zwischen 10. und 13. Tag sehr stark wächst. Man erkennt, dass nach dem Tag 15 die Konzentrationen der Algen innerhalb der Standardabweichung relativ konstant bleiben. Die Algenkonzentration im Idealmedium und im HS-Medium bilden sigmoide Kurven, während die Wachstumskurve ohne EDTA eher linear ausfällt. Die Endkonzentration nach 21 Tagen ist bei den HS Proben bei 11,3*10⁶ und beim Idealmedium bei 5,9*10⁶, es entspricht also ca. der halben Konzentration der HS. Ohne EDTA ist die Endkonzentration bei 2,8*10⁶,also ca. der Hälfte des Idealmediums und bei der Probe ohne Fe bei 0,49*10⁶ ,also weniger als einem Zehntel bezogen auf das Idealmedium. Auffällig ist, dass die Wachstumskurven von –EDTA- und HS-Medium gut korrelieren, das Wachstum ohne EDTA jedoch nach ca. 10 Tagen einbricht und stagniert. Das Idealmedium beginnt hier erst zu wachsen, die Kurve ist nach rechts verschoben. Eine –Fe Kultur wächst in den letzten 2 Tagen noch von 0,30*10⁶ auf 4,9*10⁶.Da dieses Wachstum v.a. aus dem Wachstum einer einzelnen Probe resultiert, ist hier eine Kontamination mit Fe aus der Umgebung wahrscheinlich.

Diskussion

Anhand der Daten dieses Versuches lässt sich auf jeden Fall feststellen, dass *Chlorella salina* fähig ist, in einem Medium, in welchem das FeCl₃ und das Na₂EDTA durch Fe-HS ersetzt ist, zu wachsen, d.h. das Fe muss auf irgendeine Art und Weise für diese Phytoplanktonart bioverfügbar sein.

Da *C. salina* in den Kulturen mit HS sowohl deutlich schneller gewachsen ist, als auch höhere Konzentrationen erreicht haben, ist davon auszugehen, dass die HS eine wachstumsfördernde Wirkung haben. Wodurch genau dieser Effekt zustande kommt, kann nicht gesagt werden. Dass es im Medium ohne EDTA ebenfalls zu einem Wachstum kommt, kann unterschiedliche Gründe haben:

- *C. salina* kann das Fe intrazellulär speichern und an die Tochtergeneration weitergeben. Dies würde jedoch im Widerspruch dazu stehen, dass die Kultur ohne Fe überhaupt nicht gewachsen ist. Sämtliche Zellen wurden ja zuvor in einem Vollmedium gehalten und somit müssten die Speicher aufgefüllt sein und es müsste zumindest zu Beginn im Medium ohne Fe ein ähnliches Wachstum wie bei den anderen Kulturen zu beobachten sein.
- Das Fe ist in der Lösung enthalten, auch wenn kein Komplexbildner enthalten ist. Es fällt zwar als Niederschlag aus, ist aber noch immer im Gleichgewicht mit der Lösung.

Es kann dann sein, dass *C. salina* der Lösung diese geringen Eisenkonzentrationen beständig entziehen kann und sich das Fe aus dem Niederschlag wieder löst bis sich das Löslichkeitsgleichgewicht wieder eingestellt hat. Da die Lösung stark gerührt wird und das Volumen mit 200ml relativ gering ist, ist es durchaus möglich, dass die Algen zumindest bis zu einer gewissen Zellzahl Fe aus der Lösung gewinnen können.

Da es sich um eine axenische Kultur (SAG 8.86 Chlorella salina) handelt, sollte zumindest eine Kontamination mit Bakterien, welche Siderophore bei Eisenmangel synthetisieren, ausgeschlossen werden könne.

Man kann weiters sehen, dass sowohl ein Mangel an Fe als auch an Komplexbildner zu einer Inhibition des Wachstums führt. Dies würde auch gut mit den Ergebnissen von Kuma und Matsunaga übereinstimmen, die bei Versuchen mit Diatomeen und marinen Flagellaten feststellten, dass das Wachstum mit Fe-EDTA ca. doppelt so gut war wie mit amorphen Fe₂O₃*xH₂O. Ohne Fe und mit Zugabe von FeOOH wurde ebenfalls fast kein Wachstum gemessen. Sie schlussfolgerten, dass die Verfügbarkeit von kolloidalen Fe als Eisenressource für Phytoplankton von der thermodynamischen Stabilität und kinetischen Labilität der kolloidalen Eisenoxid-Phase abhängt(Kuma und Matsunaga, 1995).

Da das bei den Versuchen verwendete FeCl₃*6H₂O nach der Zugabe zum künstlichen Meerwasser zu Fe(H2O)₆³⁺ hydratisiert wird und anschließend durch Hydroxid-Ionen hydrolisiert zum Fe(OH)₃, welches dann fortlaufend durch Dehydration und Kristallisation altert über FeOOH zu Fe₂O₃*9H₂O und abschießend zuFe₂O₃, wobei die Löslichkeit fortlaufend sinkt (Kendall et al., 2012). Durch die zunehmend schlechtere Löslichkeit der Fe-Spezies würde sich die Abnahme des Wachstums der –EDTA-Lösung erklären lassen.

4.2 Ergebnisse von C. salina mit unterschiedlichen HS- Konzentrationen

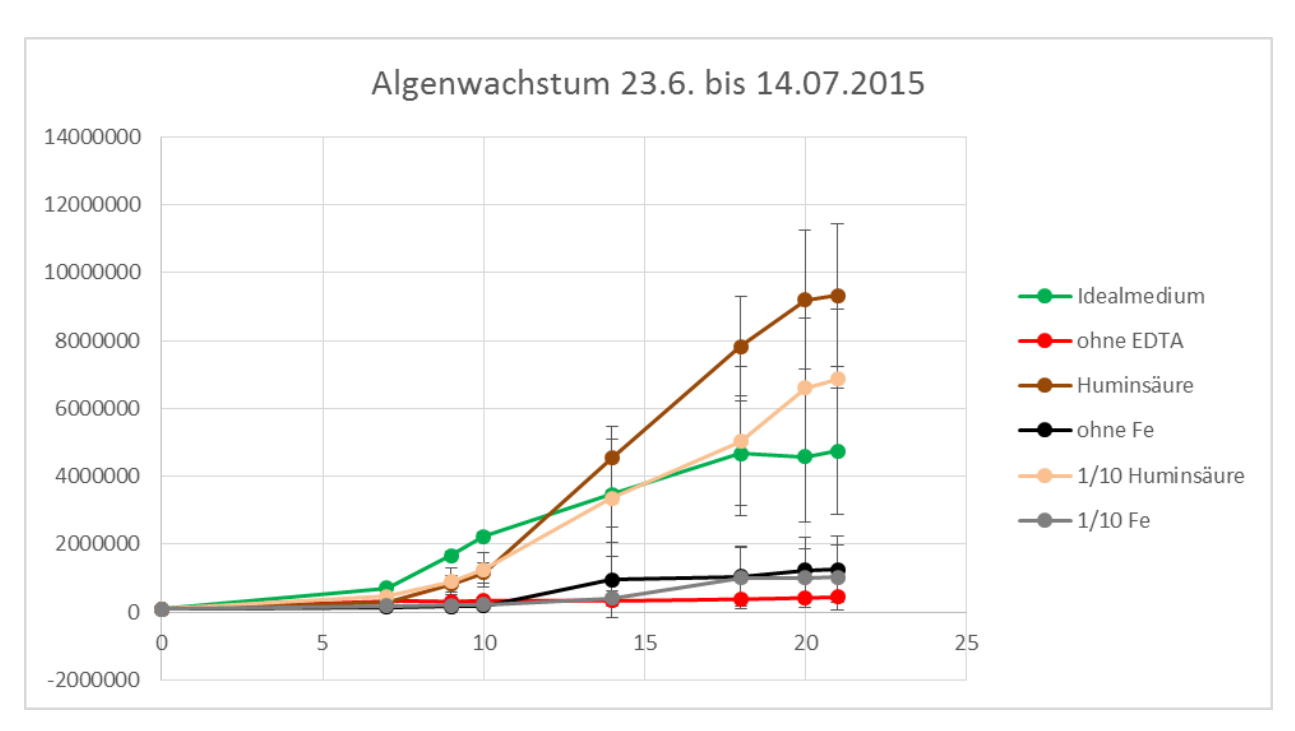


Abbildung 9: Wachstumskurve von *Chlorella salina* vom 26.05. bis 15.06.2015 wobei in brauner Farbe das Medium mit Huminstoffe(+HS;-Fe;-EDTA) dargestellt ist, in grüner Farbe das Idealmedium (+Fe;+EDTA) in roter Farbe ohne EDTA (-EDTA;+FE) und in schwarzer Farbe das Medium ohne Eisen (-Fe; +EDTA), in grauer Farbe 1/10 Fe (bezogen auf das Idealmedium) und in orange 1/10 HS(bezogen auf volle HS Konzentration).

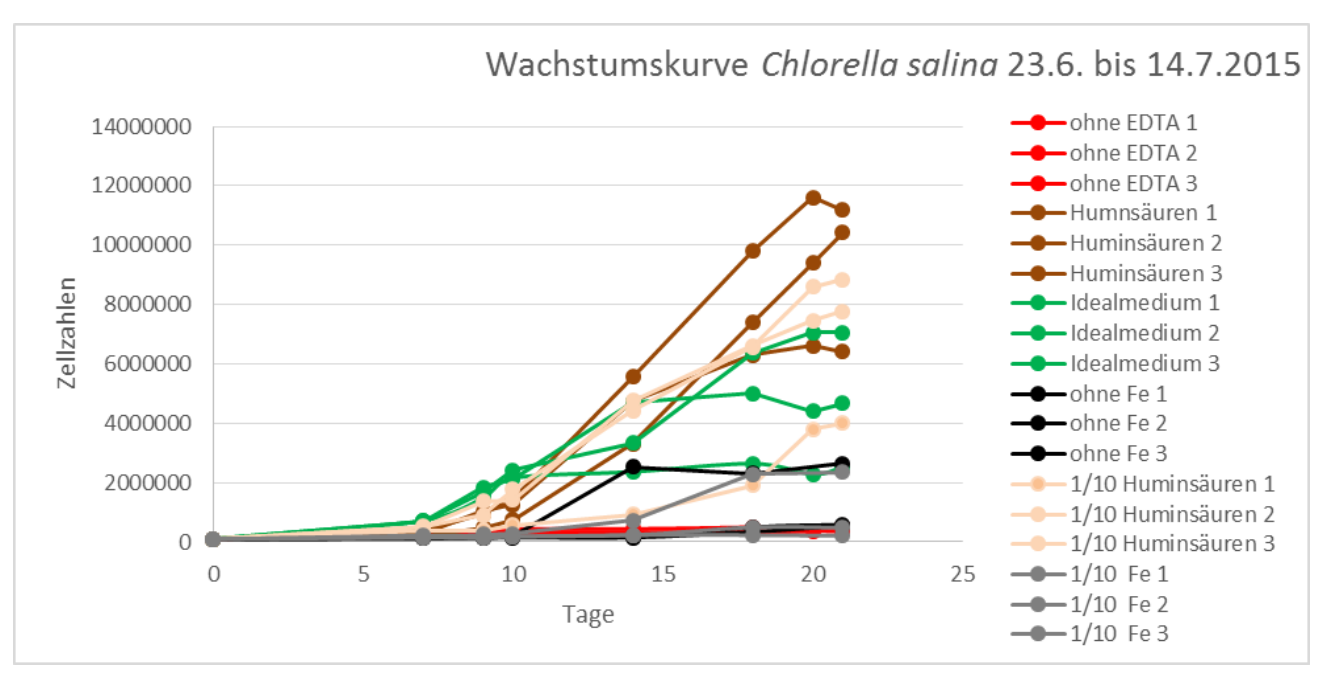


Abbildung 10: Wachstumskurve von *Chlorella salina* vom 23.06. bis 14.07.2015. Beschriftung wie in Abb. 9. Dargestellt sind die einzelnen Proben.

| | 0 | 7 | 9 | 10 | 14 | 18 | 20 | 21 |
|-------------|-------|--------|---------|---------|---------|---------|----------|------------|
| ohne EDTA 1 | 92000 | 350000 | 222500 | 235000 | 235000 | 310000 | 367500 | 357500 |
| ohne EDTA 2 | 92000 | 300000 | 327500 | 330000 | 330000 | 332500 | 397500 | 400000 |
| ohne EDTA 3 | 92000 | 295000 | 375000 | 432500 | 440000 | 497500 | 492500 | 550000 |
| HS1 | 92000 | 357500 | 940000 | 1460417 | 5566667 | 9800000 | 11600000 | 11183333,3 |
| HS2 | 92000 | 192500 | 485000 | 747500 | 3300000 | 7383333 | 9400000 | 10416667 |
| HS3 | 92000 | 295000 | 1035000 | 1256250 | 4733333 | 6300000 | 6600000 | 6400000 |
| Ideal 1 | 92000 | 705000 | 1832500 | 2125000 | 4718750 | 5000000 | 4406250 | 4668750 |
| Ideal 2 | 92000 | 722500 | 1490000 | 2155833 | 2366667 | 2641667 | 2287500 | 2516667 |
| Ideal 3 | 92000 | 700000 | 1655833 | 2412500 | 3333333 | 6375000 | 7050000 | 7050000 |
| ohne Fe 1 | 92000 | 172500 | 127500 | 222500 | 2525000 | 2306250 | 2575000 | 2643750 |
| ohne Fe 2 | 92000 | 132500 | 195000 | 172500 | 187500 | 500000 | 580000 | 587500 |
| ohne Fe 3 | 92000 | 112500 | 150000 | 155000 | 155000 | 345000 | 552500 | 550000 |
| 1/10 HS 1 | 92000 | 362500 | 400000 | 567500 | 923333 | 1913889 | 3800000 | 4008333 |
| 1/10 HS 2 | 92000 | 532500 | 907500 | 1764583 | 4416667 | 6566667 | 8583333 | 8833333 |
| 1/10 HS 3 | 92000 | 507500 | 1362500 | 1407500 | 4750000 | 6600000 | 7450000 | 7766667 |
| 1/10 Fe 1 | 92000 | 150000 | 127500 | 187500 | 236667 | 496667 | 500000 | 480000 |
| 1/10 Fe 2 | 92000 | 220000 | 195000 | 182500 | 233333 | 233333 | 273333 | 213333 |
| 1/10 Fe 3 | 92000 | 167500 | 257500 | 282500 | 733333 | 2283333 | 2225000 | 2358333 |

Tabelle 3: Gezählte Zellzahlen von Chlorella salina vom 26.05. bis 15.06.2015

| | 0 | 7 | 9 | 10 | 14 | 18 | 20 | 21 |
|-----------|-------|--------|---------|------------|---------|---------|------------|---------|
| Ci | 92000 | 709167 | 1659444 | 2231111 | 3472917 | 4672222 | 4581250 | 4745139 |
| ohne EDTA | 92000 | 315000 | 308333 | 332500 | 335000 | 380000 | 419167 | 435833 |
| HS | 92000 | 281667 | 820000 | 1154722 | 4533333 | 7827778 | 9200000 | 9333333 |
| ohne Fe | 92000 | 139167 | 157500 | 183333,333 | 955833 | 1050417 | 1235833 | 1260417 |
| 1/10 HS | 92000 | 467500 | 890000 | 1246528 | 3363333 | 5026852 | 6611111 | 6869444 |
| 1/10 Fe | 92000 | 179167 | 193333 | 217500 | 401111 | 1004444 | 1004444,44 | 1017222 |

Tabelle 4: Zellzahlen von Chlorella salina, wobei hier jeweils der Mittelwert der Tripletts angegeben ist.

Man erkennt, dass nach einer Woche Wachstum sich die Konzentration im Idealmedium von 9,2*10⁴ auf 70,1*10⁴ erhöht hat, was einer Zunahme um das 7,6fache entspricht und deutlich ausgeprägter ist als im ersten Versuch mit einer Zunahme um das 1,4fache. Die Zellzahlen im –EDTA-Medium haben um das 3,4fache zugenommen, was weniger ist als im ersten Versuch, ebenso im HS Medium (3,1fache). Die Kulturen ohne Fe sind nur um das 1,5fache gewachsen. Ebenfalls schwaches Wachstum zeigten die Zellen mit 1/10 Fe (1,9fache), während die Zellzahl mit 1/10 HS innerhalb der ersten Woche deutlich stärker zugenommen hat (5,1fache).

Das Wachstum im HS Medium ist dann jedoch im Zeitraum von Tag 7 bis 20 sehr stark, wobei die Konzentration um ca. 686 000Zellen/d steigt, was viel mehr ist als im Idealmedium mit 297 853 Zellen/d.

Die Endkonzentration nach 21 Tagen ist im HS-Medium wieder ca. doppelt so hoch wie im Idealmedium. Die Konzentration der 1/10 HS ist das 1,4 fache der Zellkonzentration im Idealmedium und das 6,8 fache des 1/10 Fe-Mediums. Das Wachstum im –EDTA Medium war verglichen mit dem ersten Experiment sehr schlecht, wobei die Endkonzentration unter einer halben Million blieb und sogar nur weniger als die Hälfte der Konzentration des –Fe-Mediums. Das Medium

mit 1/10 Fe zeigte unter Berücksichtigung der Standardabweichung keinen Unterschied zu dem Medium ohne Fe.

Diskussion

Verglichen mit dem ersten Versuch setzt das Wachstum des Idealmediums früher ein, die Zellzahlen nach 21 Tagen sind auch etwas niedriger. Vergleicht man jedoch das Verhältnis der Zellzahlen am Ende des Experiments vom HS zum Idealmedium, erhält man ähnliche Ergebnisse, es ist wieder ca. die doppelte Zelldichte im HS Medium. 1/10 der Fe-Konzentration des Idealmediums ist scheinbar nicht ausreichend, um genügend Fe für das Algenwachstum zur Verfügung zu stellen. Dies ist v.a. insofern interessant, da *C. salina* im Medium mit 1/10 HS, welches auch nicht mehr Fe enthält, sogar besser als das Idealmedium gewachsen ist. Hier ist offenbar das Fe, welches durch HS komplexiert besser bioverfügbar als das Fe, welches durch EDTA chelatiert wird. Es scheint, dass v.a. bei niedrigen Fe Konzentrationen die Art des Chelatliganden großen Einfluss auf das Algenwachstum hat. Diese Ergebnisse stimmen somit auch überein mit den Beobachtungen von Bährs und Steinberg(2012).

4.3 Ergebnisse von D. lutheri in unterschiedlichen Medien

Wachstumskurve Diacronema lutheri 14.09-02.10.2015

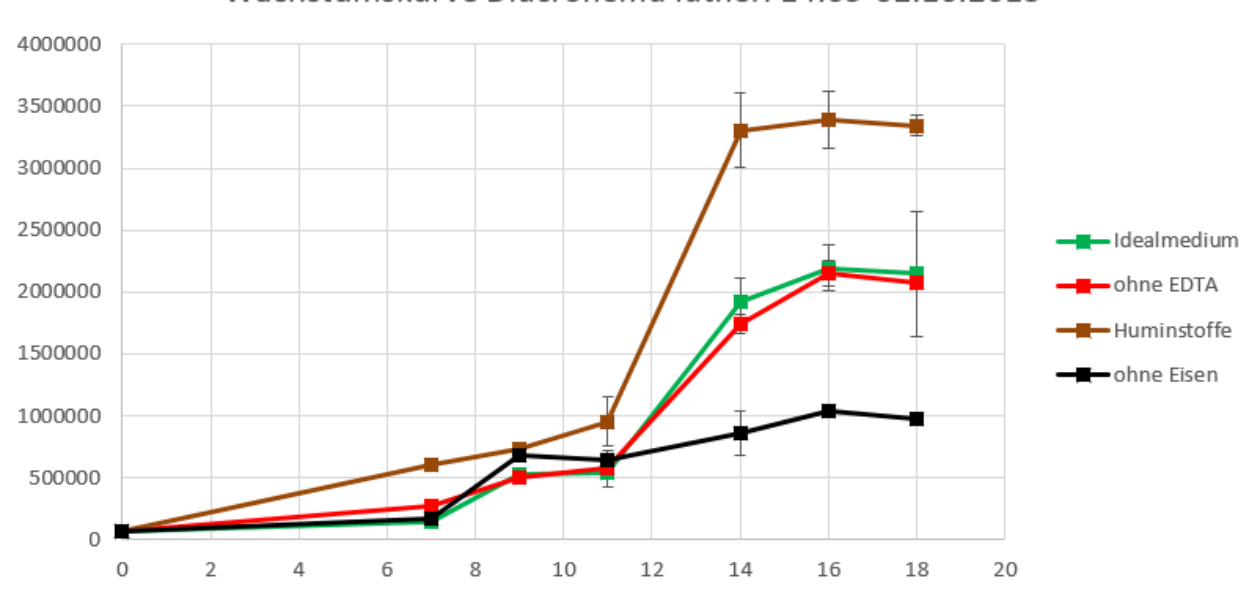


Abbildung 11: Wachstumskurve von *Diacronema lutheri* vom 14.09. bis 02.10.2015 wobei in brauner Farbe das Medium mit Huminstoffe(+HS;-Fe;-EDTA) dargestellt ist, in grüner Farbe das Idealmedium (+Fe;+EDTA) in roter Farbe ohne EDTA (-EDTA;+FE) und in schwarzer Farbe das Medium ohne Eisen (-Fe; +EDTA).

Wachstumskurve Diacronema lutheri 14.09-02.10.2015

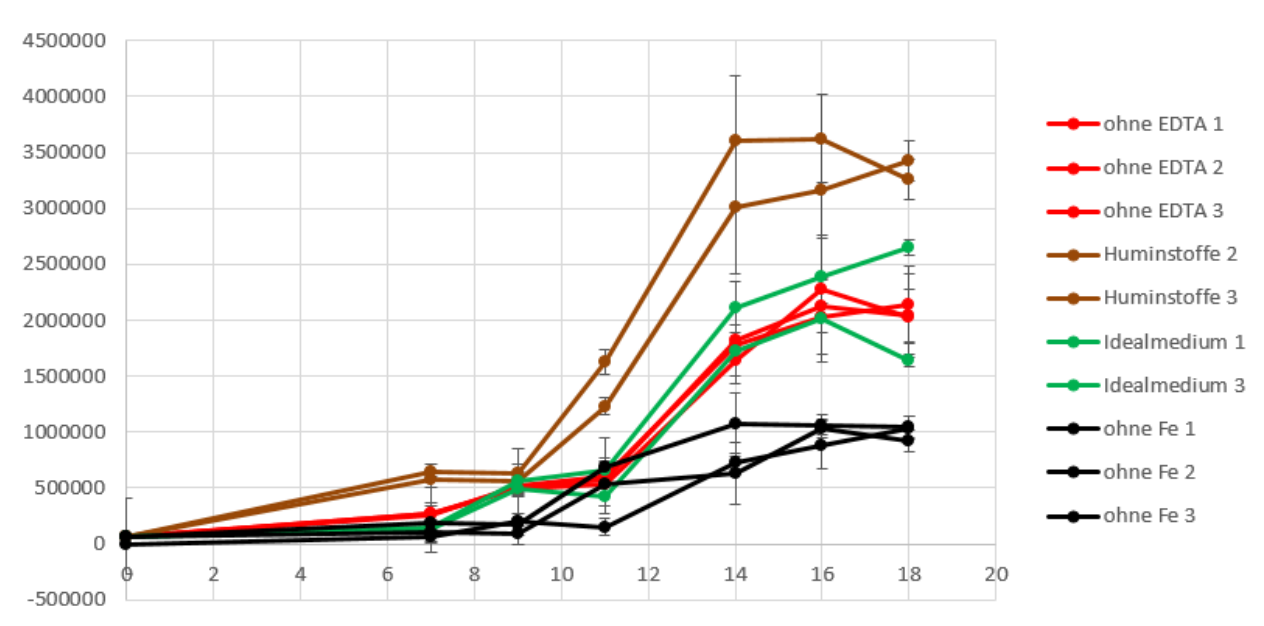


Abbildung 12: Wachstumskurve von *Diacronema lutheri* vom 14.09. bis 02.10.2015. Beschriftung wie in Abb. 11. Dargestellt sind die einzelnen Proben.

| | 0 | 7 | 9 | 11 | 14 | 16 | 18 |
|-------------|-------|--------|--------|---------|---------|---------|---------|
| ohne EDTA 1 | 67500 | 275000 | 485000 | 540000 | 1641667 | 2283333 | 2033333 |
| ohne EDTA 2 | 67500 | 262500 | 520000 | 606667 | 1775000 | 2033333 | 2141667 |
| ohne EDTA 3 | 67500 | 275000 | 507500 | 576667 | 1816667 | 2125000 | 2041667 |
| HS2 | 67500 | 642500 | 627500 | 1628333 | 3606250 | 3625000 | 3258333 |
| HS3 | 67500 | 580000 | 560000 | 1230000 | 3006250 | 3162500 | 3425000 |
| Ideal 1 | 67500 | 137500 | 497500 | 425000 | 1725000 | 2008333 | 1641667 |
| Ideal 3 | 67500 | 150000 | 557500 | 656667 | 2116667 | 2383333 | 2650000 |
| ohne Fe 1 | 67500 | 105000 | 95000 | 533333 | 633333 | 1033333 | 923333 |
| ohne Fe 2 | 67500 | 192500 | 170000 | 680000 | 1066667 | 1063333 | 1043333 |
| ohne Fe 3 | 67500 | 195000 | 150000 | 720000 | 883333 | 1036667 | 970000 |

Tabelle 5: Zellzahlen von Diacronema lutheri von 14.09.-02.10.2015

| | 0 | 7 | 9 | 11 | 14 | 16 | 18 |
|-----------|-------|--------|--------|--------|---------|---------|---------|
| Ci | 67500 | 143750 | 527500 | 540833 | 1920833 | 2195833 | 2145833 |
| ohne EDTA | 67500 | 270833 | 504167 | 574444 | 1744444 | 2147222 | 2072222 |
| HS | 67500 | 611250 | 730000 | 952778 | 3306250 | 3393750 | 3341667 |
| ohne Fe | 67500 | 164167 | 678889 | 644444 | 861111 | 1044444 | 978889 |

Tabelle 6: Zellzahlen von Diacronema lutheri wobei hier jeweils der Mittelwert der Tripletts angegeben ist.

Bei diesem Versuch mit *D. lutheri* ist eine HS und eine Idealkultur überhaupt nicht gewachsen, und deshalb musste hierbei mit Dupletts gearbeitet werden.

Diskussion

Die Zellzahlen im Idealmedium und mit HS sind nach 18 Tagen niedriger als bei den gleichen Setup mit *C. salina*. Die Zellzahlen im Medium ohne Fe entsprechen ca. denen des 2. Versuches mit *C. salina*. Auffällig ist das viel stärker ausgeprägte Wachstum von *D. lutheri* ohne EDTA im Vergleich zu *C. salina*, v.a. wenn man die niedrigeren Zellzahlen der Idealkultur berücksichtigt. Das Wachstum im –EDTA-Medium und im Idealmedium war unter Einbeziehung der Standardabweichung gleich stark ausgeprägt, d.h. der Zusatz des Chelatkomplexbildners hatte keinen Einfluss auf das Wachstum.

Da auch bei diesem Versuch das Wachstum im-Fe Medium stark verlangsamt ist, ist auch für *D. lutheri* Fe im Medium notwendig und es genügt nicht das interzellulär gespeicherte Fe. Bei *D. lutheri* handelt es sich um eine nicht axenische Kultur (SAG 926-1 *Diacronema lutheri*), wodurch es durchaus möglich ist, dass in der Kultur enthaltene Bakterien oder Pilze Siderophore in das Medium abgeben, die anschließend das Fe komplexieren und von *D. lutheri* als Eisenquelle benutzt werden können.

Eine weitere Möglichkeit ist das das Phytoplankton das Fe direkt aus der Lösung aufnehmen kann, da das ausgefallene Fe nicht entfernt wird. Wenn hierbei *D. lutheri* eine effektivere Strate-

gie hat als *C. salina* würde dies die höheren Zellzahlen im – EDTA Medium erklären. Es könnte auch sein das D. lutheri weniger Fe benötigt wobei eindeutig anhand des Zellwachstums im-Fe Medium gezeigt wurde, dass auch *D. lutheri* eine gewisse Fe-Zufuhr benötigt.

5. Zusammenfassung

An Hand der beiden mariner Phytoplanktonarten *Chlorella salina*, Butcher und *Diacronema lutheri*, Droop wurde die Bioverfügbarkeit von durch Huminsubstanzen komplexiertem Eisen für marines Phytoplankton getestet werden. Um diese zu überprüfen wurde *C. salina* unter Zugabe unterschiedlicher Konzentrationen an Huminstoffen (HS) gezüchtet. Als Kontrollprobe dient eine Lösung mit dem künstlichen Komplexbildner Ethylendiamintetraacetat(EDTA) und Eisen(Fe), eine Probe ohne Fe und eine Probe ohne EDTA dafür mit Fe. Um die natürlichen Bedingungen im Meer zu simulieren und gleichzeitig die genaue Zusammensetzung des Mediums zu kennen wurde künstliches Meerwasser benutzt. Als Medium für die Algen wurde das "Enriched Seawater Medium f/2" verwendet. Die Zelldichte der Algen wurde über Zählkammern(Neubauer improved) ausgewertet. Die Messungen wurden über den Testzeitraum(21d)periodisch wiederholt um die Wachstumskurven in Abhängigkeit vom Medium zu erhalten. Dabei konnte gezeigt werden das *C. salina* ca. doppelt so hohe Zellzahlen in einem Medium erreicht welches anstatt EDTA Huminstoffe als Komplexbildner enthält. Senkt man die Konzentration an Fe auf 1/10 sinkt das Wachstum stark ab. Wenn man unter diesen Bedingungen HS verwendet ist das Wachstum jedoch wieder fast so gut wie unter Idealbedingungen.

Dass die HS das Wachstum fördern wurde ebenfalls an *D. lutheri* bestätigt. Hier zeigte sich derselbe deutliche wachstumsfördernde Effekt wie bei *C. salina*. Bei den Kontrollproben ohne Fe war das Wachstum bei allen Versuchen inhibiert.

6. Danksagung

Herzlichen Dank für die Vergabe und Betreuung der Diplomarbeit an Ao. Univ. Prof. Mag. Dr. Regina Krachler. Sie unterstütze mich bei auftretenden Problemen und hatte immer wieder praktische Tipps zur Durchführung.

Weiters speziellen Dank an Mag. Dr. Franz Jirsa für die fortlaufende Unterstützung bei den Versuchen mit dem Phytoplankton und zahlreichen Ideen zur Verbesserung der Experimente.

Ebenfalls herzlichen Dank an Ewelina Orlowska, BSc, MSc die eine große Hilfe bei der Vorbereitung und Durchführung bei einige der Versuche war,

Sämtlichen KollegInnen der Arbeitsgruppe Umweltchemie und allen anderen KollegInnen mit denen ich arbeiten durfte.

Herzlichen Dank an meine Eltern für die finanzielle Unterstützung und Ermutigungen. Zuletzt noch herzlichen Dank an meine Freunde für die aufmunternde Unterstützung.

7. Lebenslauf

Angaben zur Person

Wiesinger Hubert

Buchberg 9,3571 Gars (Österreich)

Mobil.: 06802214228

Email: hubert.wiesinger@gmx.at

Schul-und Berufsbildung

09/2001-06/2009 Wirtschaftskundl. Realgymnasium, Krems/Donau

06/2009 **Matura**

07/2009-04/2010 **Zivildienst, Caritas**, Schrems (Österreich)

04/2010-06/2010 Behindertenbetreuer, Caritas, Schrems (Österreich)

10/2010- heute Universität Wien, Lehramtsstudium UF Chemie und UF Biologie und

Umweltkunde

Kenntnisse und Qualifikationen

Sprachen Deutsch (Erstsprache)

Englisch (fließend in Wort und Schrift)

Französisch (erweiterte Grundkenntnisse)

Führerschein B

Software Microsoft PowerPoint, Microsoft Word, Microsoft Excel

8. Quellen

- 1. Aiken, G.R., McKnight, D.M., Wershaw, R.L. MacCarthy, P. (1985). Isolation and concentration techniques for aquatic humic substances. Humic Substances in Soil, Sediment and Water. John Wiley & Sons New York S.363-385
- 2. Archer, D.E., Johnson, K. (2000). A model of the iron cycle in the ocean. Global Biogeochemical cycle 14(1), S.269-279
- Bährs H., Steinberg, C.E.W. (2012). Impact of two different humic substances on selected coccal green algae and cyanobacteria—changes in growth and photosynthetic performance. Environ Sci Pollut Res Vol. 19, S. 335-346
- 4. Behrenfeld, M.J., Halsey, K.H., Milligan, A.J. (2008). Evolved physiological responses of phytoplankton to their integrated growth environment. Phil. Trans. R. Soc. B 363, S. 2687-2703
- 5. Bendif, El Mahdi, Probert, Ian, Hervé, Annie, Billard, Chantal, Goux, Didier, Lelong, Christophe, Cadoret, Jean-Paul, Véron, Benoît. (2011). Integrative Taxonmy of the Pavlovophyceae (Haptophyta): A Reassessment. Protist, Vol. 162, S.738-761
- Boyd, P.W., Jickells, T., Law, C.S., Blain, S., Boyle, E.A., Buesseler, K.O., Coale, K.H., Cullen, J.J., de Baar, H.J.W., Follows, M., Harvey, M., Lancelot, C., Levasseur, M., Owens, N.P.J., Pollard, R., Rivkin, R.B., Sarmiento, J., Schoemann, V., Smetacek, V., Takeda, S., Tsuda, A., Turner, S., Watsn, A.J. (2007). Mesoscale Iron Enrichment Experiments 1993-2005:Synthesis and Future Directions. Science Vol.315(5812), S.612-617
- 7. Breithbarth, E. et al. (2010). Iron biogeochemistry across marine systems- progress from the past decade. Biogeosciences 7, S.1075-1097
- 8. Bruland, K.W. (1980).Oceanographic distributions of cadmium, zinc, nickel, and copper in the North Pacific. Earth Planet Sci Lett.Vol.47 S.176–98.
- 9. Buesseler, K.O. (1998) The decoupling of production and particulate export in the surface ocean. Global Biogeochem. Cycles Vol.12, S.297-310
- Butcher, R.W. (1952). Contributions to knowledge of the smaller marine algae in Journal of the Marine Biological Association of the United Kingdom Vol. 31 S.175-191.
- 11. Del Rio, J.C., Hatcher, P.G. (1995). Structural characterization of humic substances using thermochemolysis with tetramethylammonium hydroxide. American Chemical Society S.79-95

- 12. DiTullio, G.R., Hutchins D.A. Bruland K.W. (1993). Interaction of iron and major nutrients controls phytoplankton growth and species composition in the tropical North Pacific Ocean. Limnol Oceanogr Vol.38 S.495-508
- 13. Dlouhy, A.C., Outten, C.E. (2013). The Iron Metallome in Eukaryotic Organisms In: (Hg. Lucia Banci):Metallomics and the cell S.242-274
- 14. Ertel, J.R., Hedges, J.I., Perdue, E.M.(1984). Lignin signature of aquatic humic substances. Science, v. 223, S. 485-487
- 15. Falkowski, P.G., Barber, R.T., Smetacek, V.(1998). Biogeochemical controls and feedbacks on ocean primary production. Science Vol. 281(5374), S. 200-215
- Falkowski, P.G., Raven, J.A. (1997). Aquatic photosynthesis. Malden, MA: Blackwell Scientific
- 17. Field, C.B., Randerson, J.T., Behrenfeld, M.J., Falkowski, P., Randerson, J.T. (1998). Primary production of the biosphere: Integrating terrestrial and oceanic components. Science Vol. 281 (5374), S.237-240)
- 18. Guillard, R.R.L. (1975). Culture of phytoplankton for feeding marine invertebrates. pp Smith W.L. and Chanley M.H (Eds.) Culture of Marine Invertebrate Animals. Plenum Press, New York, USA. S. 26-60
- Guillard, R.R.L., Ryther, J.H. (1962). Studies of marine planktonic diatoms. I. Cyclotella nana Husted and Dentonula conferyacea Cleve. Can. J. Microbiol. Vol.8 S.220-239
- 20. Hertkorn, N., Claus, H., Schmitt-Kopplin, P.H., Perdue, E.M., and Filip, Z. (2002). Utilization and transformation of aquatic humic substances by autochthonous microorganisms. Environmental Science and Technology Vol.36 S.4334-4345.
- 21. Hopkins, B.M., Morel, F.M.M. (2009). The role of siderophores in iron acquisition by photosynthetic marine microorganism. BioMetals Vol. 22(4) S.659-669
- 22. Hudson, R.J.M., Morel,F.M.M. (1990). Iron transport in marine phytoplankton: Kinetics of cellular and medium coordination reactions. Limnol. Oceanogr. Vol. 35 S.1002-1020
- 23. IHSS (2007): http://www.humicsubstances.org/whatarehs.html (11.11.2015)
- 24. Johnson, K, Gordon, M.R., Coale, K.H. (1997). What controls iron concentrations in the world ocean?. Mar. Chem. Vol.57 S.137-161
- 25. Karasyova, T.A., Steinberg, C.E.W., Klose, E.O., Menzel, R. (2007). Natural Organic Matter Differently Modulates Growth of Two Related Coccal Green Algal Species. Env. Sci. Pollut. Res. Vol. 14 S.88-93

- 26. Kendall, B., Anbar, A.D., Kappler, A., Konhauser, K.O. (2012). The Global Iron Cycle. Fundamentals of Geobiology, Wiley, S.65-92
- 27. Kester, R. D., Duedall, I.W., Connors, D.N., Pyktowicz, R.M. (1967). Preparation of Artificial Seawater. Limnology and Oceanogrphy 12(1), S.176-179
- 28. Klein, O. I., Isakova, E.P., Deryabina Y.I., Kulikova, N.A., Badun, G.A., Chernysheva, M.G., Stepanova, E.V., Koroleva, O.V.(2014). Humic Substances Enhance Growth and Respiration in the Basidiomycetes Trametes Maxima Under Carbon Limited Conditions. Journal of Chemical Ecology Vol.40 S.643-652
- 29. Krachler, R. et al. (2010). Relevance of peat-draining rivers fort he riverine input of dissolved iron into the ocean. Science of the total environment 408,S.2402-2408
- 30. Krachler, R., Jirsa, F., Ayromlou, S. (2005). Factors influencing the dissolved iron input by river water to the open ocean. Biogeosciences 2 S. 311-315
- 31. Kujawinski, E.B., Hatcher, P.G., Freitas, M.A. (2002). High-Resolution Fourier Transform Ion Cyclotron Resonance Mass Spectrometry of Humic and Fulvic Acids: Improvements and Comparisons. Analytical Chemistry, Vol. 74, S.413-419
- 32. Kuma, K., Matsunaga, K. (1995). Availability of colloidal ferric oxides to coastal marine phytoplankton. Mar. Biol. Vol. 122 S.1-11
- 33. Liu, X.W., Millero, F.J. (2002). The solubility of iron in seawater, Mar. Chem., 77(1), S.43-54
- 34. Martin J.H., Gordon R.M., Fitzwater S., Broenkow W.W. (1989) Vertex: phytoplankton iron studies in the Gulf of Alaska. Deep-Sea Res Oceanogr Res Papers.Vol.36 S.649–80.
- 35. Martin J.H.; Fitzwater, S.E. (1988). Iron deficiency limits phytoplankton growth in the north-east Pacific subarctic. Nature, 331(6154), S.341-343
- 36. Martinez, J.S., Haygood, M.G., Butler, A.(2001). Identification of a natural desferrioxamine siderophore produced by a marine bacterium. Limnology and Oceanography Vol. 46(2) S.420-424
- 37. Martinez, J.S., Zhang, G.P., Holt, P.D., Carrano, C.J., Haygood, M.G., Butler, A. (2000). Self-Assembling Amphiphilic Siderophores from Marine Bacteria. Science Vol. 287(5456), S.1245-1247
- 38. Morel, F., Price, N. (2003). The biogeochemical cycles of trace metals in the oceans. Science Vol. 300(5621), S.944-947
- 39. Posey, J.E., Gherardini, F.C. (2000).Lack of a Role for Iron in the Lyme Disease Pathogen. Science, 288, S.1652-1653

- 40. Press, F., Siever, R.(2008). Allgemeine Geologie, Spektrum Akademischer Verlag, Heidelberg (5. Auflage) S. 12
- 41. Redfield, A.C. (1934). On the proportions of organic derivatives in sea water and their relation to the composition of plankton. Johnstone Memorial Volume S.177-192
- 42. SAG 8.86 Chlorella salina: http://sagdb.uni-goettingen.de/detailedList.php?str_number=8.86 (17.01.2016)
- 43. SAG 926-1 Diacronema lutheri: http://sagdb.uni-goettingen.de/detailedList.php?str_number=926-1 (17.01.2016)
- 44. Scheffer & Schachtschabel. (2010). Lehrbuch der Bodenkunde. Spektrum Akademischer Verlag.
- 45. Seguin, A.M., Norman, A., Eaton, S., Wadleigh, M., Sharma, S. (2010). Elevated biogenic sulphur dioxide concentrations over the North Atlantic. Atmospheric Environment, Vol. 44, S. 1139-144
- 46. Smetacek, V., Klaas, C., Strass, V.H., Assmy,P., Montresor,M., Cisewski,B., Savoye,n., Webb, A., D'ovidio,F., Arrieta, J.M., Bathmann,U., Bellerby, R., Berg, G.M., Croot,P., Gonzalez, S., Henjes J., Herndl, G.J., Hoffmann, L.J., Leach, H., Losch, M., Mills, M.M., Neill, C., Peeken,I., Röttgers, R., Sachs, O., Sauter E., Schmidt,M.M., Schwarz, J., Terbrüggen, A., Wolf-Gladrow,D. (2012). Deep carbon export from a Southern Ocean iron-fertilized diatom bloom. Nature Vol. 487(/407), S.313-319
- 47. Stevenson, F.J., Cole, M.A. (1999). Cycles of soil. Carbon, nitrogen, phosphorus, sulfur, micronutrients. Zweite Auflage. John Wiley & Sons, Inc., New York, S.427
- 48. Sunda, W.G., Huntsman, S.A. (1995). Iron uptake and growth limitation in oceanic and costal phytoplankton. Mar. Chem. Vol. 50 S.189-206
- 49. Vraspir, J.M., Butler, A. (2009). Chemistry of Marine Ligands and Siderophores. Ann Rev Mar Sci. Vol. 1 S. 43-63
- 50. Weinberg, E.D. (1989). Cellular regulation of iron assimilation. The Quarterly Review of Biology Vol.64 S.261-290
- 51. Wenk,T, Siegenthaler, U. (1985). The high-latitude ocean as a control of atmospheric CO₂ in Natural Variations Archean to Presen. Geophys. Monogr. Ser. Vol.32 S.185-194
- 52. Wu, J., Luther, G.W.(1995). Complexation of Fe(III) by natural organic ligands in the Northwest Atlantic Ocean by a competitive ligand equilibration method and a kinetic approach. Marine chemistry Vol.50 S.159-177

9. Abbildungsverzeichnis

Abbildung 1: Tiefenprofil von Eisen, Nitrat und Phosphat. Daten aus dem nordpazifischen Ozean und den Golf von Alaska. Die blauen, quadratischen Datenpunkte sind von Bruland (1980), die roten Kreise von Martin et al. (1989). Graphik aus Vraspir und Butler (2009).

Abbildung 2: globale marine oberflächennahe Chlorophyllverteilung als Durchschnittswert von Janur 1998 bis Dezember 2006; Abb. aus World Ocean Atlas (2001) entnommen

Abbildung 13:annuelles Mittel der globalen marinen oberflächennahen Phosphatkonzentration; Abb. aus World Ocean Atlas (2001) entnommen

Abbildung 14: annuelles Mittel der globalen marinen oberflächennahen Nitratkonznetration in µmol l-1 mit Markierungen für FeAXs (weißes Kreuz), FeNXs (rotes Kreuz) und FeeP (grünes Kreuz) (Boyd et al. ,2007).

Abbildung 5: Zusammensetzung des künstlichen Meerwassers nach Kester et al. ,1967

Abbildung 6: modifiziertes f/2 Medium nach Guillard und Ryther, 1962

Abbildung 7: Wachstumskurve von Chlorella salina vom 26.05. bis 15.06.2015, wobei in brauner Farbe das Medium mit Huminstoffe(+HS;-Fe;-EDTA) dargestellt ist, in grüner Farbe das Idealmedium (+Fe;+EDTA;-HS), in roter Farbe ohne EDTA (-EDTA;+FE;-HS) und in schwarzer Farbe das Medium ohne Eisen (-Fe; +EDTA;-HS). Für die Huminstoffe und ohne EDTA wurden Dupletts verwendet, markiert durch * da ein Ausreißer gestrichen wurde(vgl. Abb. 7), sonst Tripletts.

Abbildung 8: Wachstumskurve von Chlorella salina vom 26.05. bis 15.06.2015. Beschriftung wie in Abb. 6. Dargestellt sind die einzelnen Proben.

Abbildung 9: Wachstumskurve von Chlorella salina vom 26.05. bis 15.06.2015 wobei in brauner Farbe das Medium mit Huminstoffe(+HS;-Fe;-EDTA) dargestellt ist, in grüner Farbe das Idealmedium (+Fe;+EDTA) in roter Farbe ohne EDTA (-EDTA;+FE) und in schwarzer Farbe

das Medium ohne Eisen (-Fe; +EDTA), in grauer Farbe 1/10 Fe (bezogen auf das Idealmedium) und in orange 1/10 HS(bezogen auf volle HS Konzentration).

Abbildung 10: Wachstumskurve von Chlorella salina vom 23.06. bis 14.07.2015. Beschriftung wie in Abb. 8. Dargestellt sind die einzelnen Proben.

Abbildung 15: Wachstumskurve von Diacronema lutheri vom 14.09. bis 02.10.2015 wobei in brauner Farbe das Medium mit Huminstoffe(+HS;-Fe;-EDTA) dargestellt ist, in grüner Farbe das Idealmedium (+Fe;+EDTA) in roter Farbe ohne EDTA (-EDTA;+FE) und in schwarzer Farbe das Medium ohne Eisen (-Fe; +EDTA).

Abbildung 16: Wachstumskurve von Diacronema lutheri vom 14.09. bis 02.10.2015. Beschriftung wie in Abb. 11. Dargestellt sind die einzelnen Proben.

Tabellen

Tabelle 1: Gezählte Zellzahlen von Chlorella salina

Tabelle 2: Zellzahlen von *Chlorella salina*, wobei hier jeweils der Mittelwert der Tripletts angegeben ist.

Tabelle 3: Gezählte Zellzahlen von *Chlorella salina* vom 26.05. bis 15.06.2015

Tabelle 4: Zellzahlen von *Chlorella salina*, wobei hier jeweils der Mittelwert der Tripletts angegeben ist.

Tabelle 5: Zellzahlen von Diacronema lutheri

Tabelle 6: Zellzahlen von *Diacronema lutheri* wobei hier jeweils der Mittelwert der Tripletts angegeben ist.

10. Anhang
Daten von Chlorella salina 26.05.2015- 15.06.2015

| 26.05.2015 | | Ideal1 | | Ideal 2 | | Ideal 3 | Mittelwer |
|------------|--------|-------------|--------|-------------|--------|-----------|-----------|
| Tag 7 | 120000 | 110000 | 130000 | 145000 | 270000 | 142500 | 132500 |
| | 90000 | | 140000 | | 120000 | | |
| | 100000 | SD | 140000 | SD | 90000 | SD | SD |
| | 130000 | 15811 | 170000 | 15000 | 90000 | 74624 | 15943 |
| | | ohne EDTA 1 | L | ohne EDTA 2 | | ohne EDTA | ١3 |
| | 510000 | 610000 | 470000 | 520000 | 770000 | 760000 | 630000 |
| | 610000 | | 570000 | | 740000 | | |
| | 600000 | SD | 520000 | SD | 750000 | SD | SD |
| | 720000 | 74498 | 520000 | 35355 | 780000 | 15811 | 98995 |
| | | HS1 | | HS2 | | HS3 | |
| | 460000 | 522500 | 500000 | 627500 | 600000 | 560000 | 570000 |
| | 410000 | | 630000 | | 570000 | | |
| | 520000 | SD | 760000 | SD | 600000 | SD | SD |
| | 700000 | 109630 | 620000 | 92026 | 470000 | 53385 | 43445 |
| | | ohne Fe 1 | | ohne Fe 2 | | ohne Fe 3 | |
| | 90000 | 95000 | 320000 | 170000 | 170000 | 150000 | 138333 |
| | 190000 | | 200000 | | 170000 | | |
| | 60000 | SD | 70000 | SD | 80000 | SD | SD |
| | 40000 | 57663 | 90000 | 99750 | 180000 | 40620 | 31710 |

| 28.05.2015 | | ideal1 | | Ideal 2 | | Ideal 3 | Mittelwert |
|------------|---------|-----------|------------|-----------|---------|-----------|------------|
| Tag 9 | 210000 | 212500 | 320000 | 277500 | 90000 | 212500 | 234167 |
| | 190000 | | 250000 | | 340000 | | |
| | 220000 | SD | 310000 | SD | 200000 | SD | SD |
| | 230000 | 14790,2 | 230000 | 38324,27 | 220000 | 88706 | 30641 |
| | | ohne EDTA | <u>\ 1</u> | ohne EDTA | 2 | ohne EDT | 4 3 |
| | 1350000 | 1392500 | 1630000 | 1505000 | 1370000 | 1337500 | 1411667 |
| | 1310000 | | 1640000 | | 1420000 | | |
| | 1540000 | SD | 1510000 | SD | 1310000 | SD | SD |
| | 1370000 | 87856,4 | 1240000 | 161322,7 | 1250000 | 63786,8 | 69712 |
| | | HS1 | | HS2 | | HS3 | |
| | 1160000 | 1192500 | 1320000 | 1735000 | 1430000 | 1125000 | 1350833,3 |
| | 1170000 | | 1660000 | | 1130000 | | |
| | 1150000 | SD | 2130000 | SD | 980000 | SD | SD |
| | 1290000 | 56734 | 1830000 | 292788,3 | 960000 | 187949 | 273041 |
| | | ohne Fe 1 | | ohne Fe 2 | | ohne Fe 3 | |
| | 150000 | 122500 | 230000 | 187500 | 100000 | 145000 | 151666,67 |
| | 100000 | | 260000 | | 210000 | | |
| | 130000 | SD | 140000 | SD | 80000 | SD | SD |
| | 110000 | 19202,9 | 120000 | 58896,09 | 190000 | 55901,7 | 26952 |

| 29.05.2015 | | Ideal1 | | Ideal 2 | | Ideal 3 | Mitt | telwert |
|------------|---------|-----------|---------|-------------|---------|-------------|------|---------|
| Tag 10 | 370000 | 287500 | 250000 | 285000 | 160000 | 240000 | | 270833 |
| | 210000 | | 340000 | | 400000 | | | |
| | 250000 | SD | 240000 | SD | 180000 | SD | SD | |
| | 320000 | 61796 | 310000 | 41533 | 220000 | 94868 | | 21826 |
| | | ohne EDTA | L | ohne EDTA 2 | 2 | ohne EDTA 3 | | |
| | 2550000 | 2285417 | 1340000 | 1422500 | 1512500 | 1505208 | | 1737708 |
| | 2875000 | | 1300000 | | 1300000 | | | |
| | 1883333 | SD | 1500000 | SD | 1575000 | SD | SD | |
| | 1833333 | 442624 | 1550000 | 104970 | 1633333 | 125947 | | 388757 |
| | | HS1 | | HS2 | | HS3 | | |
| | 4500000 | 2899148 | 1850000 | 2058333 | 2083333 | 1729167 | | 2228883 |
| | 2437500 | | 2016667 | | 1883333 | | | |
| | 2454545 | SD | 2050000 | SD | 1550000 | SD | SD | |
| | 2204545 | 929515 | 2316667 | 167290 | 1400000 | 269097 | | 492632 |
| | | ohne Fe 1 | | ohne Fe 2 | | ohne Fe 3 | | |
| | 110000 | 165000 | 110000 | 105000 | 80000 | 182500 | | 150833 |
| | 160000 | | 90000 | | 90000 | | | |
| | 250000 | SD | 110000 | SD | 230000 | SD | SD | |
| | 140000 | 52202 | 110000 | 8660 | 330000 | 103773 | | 33187 |

| 30.05.2015 | | ideal1 | | Ideal 2 | | Ideal 3 | Mittelwert |
|------------|---------|-------------|---------|-------------|---------|-------------|-------------|
| Tag 11 | 390000 | 350000 | 480000 | 540000 | 430000 | 440000 | 443333 |
| | 250000 | | 550000 | | 370000 | | |
| | 320000 | SD | 530000 | SD | 540000 | SD | SD |
| | 440000 | 71764 | 600000 | 43012 | 420000 | 62048 | 77603 |
| | | ohne EDTA 1 | | ohne EDTA 2 | | ohne EDTA 3 | |
| | 2625000 | 2710417 | 1520000 | 1875000 | 1562500 | 1762500 | 2115972 |
| | 3350000 | | 1280000 | | 1737500 | | |
| | 2500000 | SD | 2200000 | SD | 1750000 | SD | SD |
| | 2366667 | 380395 | 2500000 | 494039 | 2000000 | 155875 | 422837 |
| | | HS1 | | HS2 | | HS3 | |
| | 3850000 | 3637500 | 2725000 | 2897916,67 | 2450000 | 2681250 | 3072222,222 |
| | 2925000 | | 2750000 | | 2700000 | | |
| | 4200000 | SD | 3216667 | SD | 2525000 | SD | SD |
| | 3575000 | 467206 | 2900000 | 195822 | 3050000 | 231419 | 409382 |
| | | ohne Fe 1 | | ohne Fe 2 | | ohne Fe 3 | |
| | 200000 | 182500 | 140000 | 142500 | 190000 | 207500 | 177500 |
| | 180000 | | 200000 | | 140000 | | |
| | 160000 | SD | 90000 | SD | 180000 | SD | SD |
| | 190000 | 14790 | 140000 | 38971 | 320000 | 67592,5 | 26771 |

| 01.06.2015 | | ideal1 | | Ideal 2 | | Ideal 3 | Mittelwert |
|------------|----------|-----------|------------|-----------|------------|-----------|-------------|
| Tag 13 | 1110000 | 910000 | 1540000 | 1440000 | 1040000 | 1060000 | 1136667 |
| | 800000 | | 1590000 | | 1080000 | | |
| | 840000 | SD | 1280000 | SD | 1020000 | SD | SD |
| | 890000 | 119791 | 1350000 | 128647 | 1100000 | 31623 | 223060 |
| | | ohne EDTA | \ 1 | ohne EDTA | 1 2 | ohne EDT | 4 3 |
| | 5750000 | 5487500 | 2625000 | 2291667 | 3200000 | 2156250 | 3311806 |
| | 5400000 | | 1516666,7 | | 1700000 | | |
| | 6000000 | SD | 2800000 | SD | 1850000 | SD | SD |
| | 4800000 | 450521 | 2225000 | 493605 | 1875000 | 606314 | 1539441 |
| | | HS1 | | HS2 | | HS3 | |
| | 9550000 | 1E+07 | 6250000 | 5925000 | 5350000 | 5272917 | 7124305,556 |
| | 10000000 | | 4850000 | | 5750000 | | |
| | 10800000 | SD | 6000000 | SD | 4791666,7 | SD | SD |
| | 10350000 | 458939 | 6600000 | 656220 | 5200000 | 342954 | 2173531 |
| | | ohne Fe 1 | | ohne Fe 2 | | ohne Fe 3 | |
| | 250000 | 195000 | 380000 | 330000 | 220000 | 205000 | 243333,3333 |
| | 160000 | | 360000 | | 150000 | | |
| | 150000 | SD | 230000 | SD | 260000 | SD | SD |
| | 220000 | 41533 | 350000 | 58737 | 190000 | 40311 | 61418 |

| 02.06.2015 | | ideal1 | | Ideal 2 | | Ideal 3 | Mit | telwert |
|------------|---------|-------------|---------|-------------|---------|-------------|-----|---------|
| Tag 14 | 1150000 | 1285000 | 1540000 | 1440000 | 1040000 | 1060000 | | 1261667 |
| | 1120000 | | 1590000 | | 1080000 | | | |
| | 1430000 | SD | 1280000 | SD | 1020000 | SD | SD | |
| | 1440000 | 150416 | 1350000 | 128647 | 1100000 | 31623 | | 156009 |
| | | ohne EDTA 1 | - | ohne EDTA 2 | 2 | ohne EDTA 3 | | |
| | 5750000 | 5487500 | 2625000 | 2291667 | 3200000 | 2156250 | | 3311806 |
| | 5400000 | | 1516667 | | 1700000 | | | |
| | 6000000 | SD | 2800000 | SD | 1850000 | SD | SD | |
| | 4800000 | 450521 | 2225000 | 493605 | 1875000 | 606314 | | 1539441 |
| | | HS1 | | HS2 | | HS3 | | |
| | 9750000 | 10750000 | 6250000 | 6225000 | 5350000 | 5272916,67 | | 7415972 |
| | 1E+07 | | 5550000 | | 5750000 | | | |
| | 1,2E+07 | SD | 6400000 | SD | 4791667 | SD | SD | |
| | 1,1E+07 | 761577 | 6700000 | 422049 | 5200000 | 342954 | | 2389340 |
| | | ohne Fe 1 | | ohne Fe 2 | | ohne Fe 3 | | |
| | 250000 | 195000 | 380000 | 330000 | 220000 | 205000 | | 243333 |
| | 160000 | | 360000 | | 150000 | | | |
| | 150000 | SD | 230000 | SD | 260000 | SD | SD | |
| | 220000 | 41533 | 350000 | 58737 | 190000 | 40311 | | 61418 |

| 03.06.2015 | | | ideal1 | | Ideal 2 | | Ideal 3 | Mittelwert |
|--------------|--------|----------|-----------|---------|-----------|---------|-------------|------------|
| Tag 15 | | 2220000 | 2313333 | 3050000 | 3258333 | 1330000 | 1670000 | 2413889 |
| Daten von Ev | welina | 2700000 | | 2950000 | | 1650000 | | |
| | | 2020000 | SD | 3775000 | SD | 2030000 | SD | SD |
| | | | 285346 | | 367612 | | 286124 | 652321 |
| | | | ohne EDTA | ۱ 1 | ohne EDT | A 2 | ohne EDTA 3 | |
| | | 6800000 | 6550000 | 3216667 | 2727778 | 2533333 | 2233333,333 | 3837037 |
| | | 6100000 | | 2350000 | | 1983333 | | |
| | | 6750000 | SD | 2616667 | SD | 2183333 | SD | SD |
| | | | 318852 | | 362433 | | 227303 | 1928945 |
| | | | HS1 | | HS2 | | HS3 | |
| | | 10050000 | 1E+07 | 6600000 | 6250000 | 6300000 | 6816667 | 7750000 |
| | | 8500000 | | 5400000 | | 7300000 | | |
| | | 12000000 | SD | 6750000 | SD | 6850000 | SD | SD |
| | | | 1431976 | | 604152 | | 408928 | 1736109 |
| | | | ohne Fe 1 | | ohne Fe 2 | | ohne Fe 3 | |
| | | 280000 | 373333 | 420000 | 513333 | 410000 | 223333 | 370000 |
| | | 290000 | | 630000 | | 110000 | | |
| | | 550000 | SD | 490000 | SD | 150000 | SD | SD |
| | | | 124989 | | 87305 | | 133000 | 118415 |

| 05.06.2015 | | ideal1 | | Ideal 2 | | Ideal 3 | Mittelwer |
|------------|----------|-----------|---------|-----------|----------|-------------|-----------|
| 17 | 5500000 | 5487500 | 5950000 | 5637500 | 4250000 | 4269643 | 5131548 |
| | 5250000 | | 5500000 | | 3500000 | | |
| | 6150000 | | 5400000 | | 5400000 | | |
| | 5050000 | 414390 | 5700000 | 210283 | 3928571 | 704765 | |
| | | ohne EDTA | .1 | ohne EDTA | A 2 | ohne EDTA 3 | |
| | 6400000 | 6487500 | 3642857 | 3434152 | 2425000 | 2412500 | 4111384 |
| | 6000000 | | 3156250 | | 2000000 | | |
| | 7050000 | | 3531250 | | 2850000 | | |
| | 6500000 | 374792 | 3406250 | 180965 | 2375000 | 301299 | |
| | | HS1 | | HS2 | | HS3 | |
| | 10350000 | 11250000 | 8050000 | 7175000 | 8800000 | 9800000 | 9408333 |
| | 9750000 | | 6250000 | | 9500000 | | |
| | 12600000 | | 7750000 | | 10150000 | | |
| | 12300000 | 1223213 | 6650000 | 746241 | 10750000 | 727152 | |
| | | ohne Fe 1 | | ohne Fe 2 | | ohne Fe 3 | |
| | 240000 | 202500 | 260000 | 272500 | 320000 | 442500 | 305833 |
| | 170000 | | 280000 | | 780000 | | |
| | 190000 | | 300000 | | 320000 | | |
| | 210000 | 25860 | 250000 | 19203 | 350000 | 195240 | |

| 08.06.2015 | | ideal1 | | Ideal 2 | | Ideal 3 | Mittelwert |
|------------|----------|-----------|------------|-------------|---------|-----------|-------------|
| Tag 20 | 6500000 | 6150000 | 5100000 | 6116666,667 | 5400000 | 5316667 | 5861111 |
| | 5900000 | | 7050000 | | 5050000 | | |
| | 6050000 | | 6200000 | | 5500000 | | SD |
| | | 254951 | | 798262 | | 192931 | 385221 |
| | | ohne EDTA | 1 | ohne EDTA 2 | | ohne EDT | A 3 |
| | 5950000 | 5666667 | 2733333,33 | 3269444,444 | 2130000 | 2293333 | 3743148 |
| | 5650000 | | 3850000 | | 1966667 | | |
| | 5400000 | | 3225000 | | 2783333 | | SD |
| | | 224846 | | 456959,2196 | | 352840 | 1417308 |
| | | HS1 | | HS2 | | HS3 | |
| | 12100000 | 11633333 | 6400000 | 6400000 | 1,2E+07 | 1,1E+07 | 9544444,444 |
| | 10250000 | | 6750000 | | 1,1E+07 | | |
| | 12550000 | | 6050000 | | 9700000 | | SD |
| | | 995266,6 | | 285774 | | 778888 | 2263124 |
| | | ohne Fe 1 | | ohne Fe 2 | | ohne Fe 3 | |
| | 270000 | 200000 | 520000 | 406666,6667 | 870000 | 1000000 | 535555,5556 |
| | 170000 | | 330000 | | 1150000 | | |
| | 160000 | | 370000 | | 980000 | | SD |
| | | 49666 | | 81786 | | 115181 | 339076 |

| 09.06.2015 | | ideal1 | | Ideal 2 | | Ideal 3 | Mittelwert |
|------------|---------|-------------|---------|-------------|---------|-------------|------------|
| 21 | 7250000 | 6750000 | 5850000 | 5533333 | 5350000 | 5516666,667 | 5933333 |
| | 6200000 | | 4450000 | | 6450000 | | |
| | 6800000 | | 6300000 | | 4750000 | | SD |
| | | 430116 | | 787753 | | 703957 | 577511 |
| | | ohne EDTA 1 | | ohne EDTA 2 | | ohne EDTA 3 | |
| | 6600000 | 6550000 | 2400000 | 2858333,33 | 3300000 | 2825000 | 4077778 |
| | 6750000 | | 3175000 | | 2225000 | | |
| | 6300000 | | 3000000 | | 2950000 | | SD |
| | | 187083 | | 331872 | | 447679 | 1748178 |
| | | HS1 | | HS2 | | HS3 | |
| | 1,3E+07 | 11895833 | 6300000 | 6583333 | 1E+07 | 10650000 | 9709722 |
| | 1,1E+07 | | 6350000 | | 1E+07 | | |
| | 1,2E+07 | | 7100000 | | 1,2E+07 | | SD |
| | | 1123069 | | 365908 | | 672062 | 2268444 |
| | | ohne Fe 1 | | ohne Fe 2 | | ohne Fe 3 | |
| | 250000 | 190000 | 190000 | 316666,667 | 670000 | 963333 | 490000 |
| | 230000 | | 440000 | | 900000 | | |
| | 90000 | | 320000 | | 1320000 | | SD |
| | | 71181 | | 102089 | | 269114 | 338668 |

Daten von Chlorella salina 23.06.2015- 14.07.2015

| 30.06.2015 | | ideal1 | | Ideal 2 | | Ideal 3 | Mitt | elwert |
|------------|--------|-------------|--------|-------------|--------|-------------|------|--------|
| Tag 7 | 690000 | 705000 | 920000 | 722500 | 810000 | 700000 | | 709167 |
| | 890000 | | 570000 | | 650000 | | | |
| | 600000 | SD | 690000 | SD | 630000 | SD | SD | |
| | 640000 | 111467 | 710000 | 125971 | 710000 | 70000 | | 9647 |
| | | ohne EDTA 1 | | ohne EDTA 2 | | ohne EDTA 3 | | |
| | 220000 | 350000 | 350000 | 300000 | 300000 | 295000 | | 315000 |
| | 440000 | | 270000 | | 270000 | | | |
| | 420000 | SD | 280000 | SD | 320000 | SD | SD | |
| | 320000 | 87750 | 300000 | 30822 | 290000 | 18028 | | 24833 |
| | | HS1 | | HS2 | | HS3 | | |
| | 360000 | 357500 | 220000 | 192500 | 280000 | 295000 | | 281667 |
| | 290000 | | 130000 | | 250000 | | | |
| | 400000 | SD | 240000 | SD | 340000 | SD | SD | |
| | 380000 | 41458 | 180000 | 42057 | 310000 | 33541 | | 68018 |
| | | ohne Fe 1 | | ohne Fe 2 | | ohne Fe 3 | | |
| | 150000 | 172500 | 110000 | 132500 | 50000 | 112500 | | 139167 |
| | 220000 | | 200000 | | 140000 | | | |
| | 160000 | SD | 100000 | SD | 140000 | SD | SD | |
| | 160000 | 27726 | 120000 | 39607 | 120000 | 36997 | | 24944 |
| | | 1/10 HS 1 | | 1/10 HS 2 | | 1/10 HS 3 | | |
| | 320000 | 362500 | 610000 | 532500 | 490000 | 507500 | | 467500 |
| | 180000 | | 480000 | | 530000 | | | |
| | 530000 | SD | 480000 | SD | 470000 | SD | SD | |
| | 420000 | 128914 | 560000 | 55396 | 540000 | 28614 | | 74944 |
| | | 1/10 Fe 1 | | 1/10 Fe 2 | | 1/10 Fe 3 | | |
| | 140000 | 150000 | 230000 | 220000 | 110000 | 167500 | | 179167 |
| | 130000 | | 240000 | | 170000 | | | |
| | 170000 | SD | 220000 | SD | 170000 | SD | SD | |
| | 160000 | 15811 | 190000 | 18708 | 220000 | 38971 | | 29744 |

| 01.07.2015 | | ideal1 | | Ideal 2 | | Ideal 3 | Mit | telwert |
|------------|---------|-------------|---------|-------------|---------|-------------|-----|---------|
| Tag 9 | 1750000 | 1832500 | 1460000 | 1490000 | 1866667 | 1655833,33 | | 1659444 |
| | 2500000 | | 1550000 | | 1410000 | | | |
| | 1230000 | SD | 1420000 | SD | 1716667 | SD | SD | |
| | 1850000 | 451574 | 1530000 | 52440 | 1630000 | 165267 | | 139848 |
| | | ohne EDTA 1 | | ohne EDTA 2 | | ohne EDTA 3 | | |
| | 180000 | 222500 | 470000 | 327500 | 410000 | 375000 | | 308333 |
| | 290000 | | 280000 | | 320000 | | | |
| | 150000 | SD | 310000 | SD | 350000 | SD | SD | |
| | 270000 | 58896 | 250000 | 84963 | 420000 | 41533 | | 63716 |
| | | HS1 | | HS2 | | HS3 | | |
| | 970000 | 940000 | 470000 | 485000 | 1160000 | 1035000 | | 820000 |
| | 860000 | | 400000 | | 930000 | | | |
| | 1240000 | SD | 530000 | SD | 1040000 | SD | SD | |
| | 690000 | 199875 | 540000 | 55902 | 1010000 | 82614 | | 240035 |
| | | ohne Fe 1 | | ohne Fe 2 | | ohne Fe 3 | | |
| | 110000 | 127500 | 280000 | 195000 | 170000 | 150000 | | 157500 |
| | 100000 | | 100000 | | 170000 | | | |
| | 170000 | SD | 330000 | SD | 80000 | SD | SD | |
| | 130000 | 26810 | 70000 | 111915 | 180000 | 40620 | | 28062 |
| | | 1/10 HS 1 | | 1/10 HS 2 | | 1/10 HS 3 | | |
| | 410000 | 400000 | 870000 | 907500 | 1450000 | 1362500 | | 890000 |
| | 500000 | | 860000 | | 1280000 | | | |
| | 390000 | SD | 880000 | SD | 1260000 | SD | SD | |
| | 300000 | 71063 | 1020000 | 65336 | 1460000 | 92837 | | 393134 |
| | | 1/10 Fe 1 | | 1/10 Fe 2 | | 1/10 Fe 3 | | |
| | 110000 | 127500 | 200000 | 195000 | 200000 | 257500 | | 193333 |
| | 100000 | | 180000 | | 160000 | | | |
| | 170000 | SD | 280000 | SD | 310000 | SD | SD | |
| | 130000 | 26810 | 120000 | 57228 | 360000 | 80739 | | 53085 |

| 02.07.2015 | | ideal1 | | Ideal 2 | | Ideal 3 | Mittelwert |
|------------|------------|-------------|---------|-------------|---------|-------------|------------|
| Tag 10 | 2500000 | 2125000 | 1430000 | 2155833,33 | 2725000 | 2412500 | 2231111 |
| | 1725000 | | 2583333 | | 2316667 | | |
| | 2150000 | SD | 2500000 | SD | 2375000 | SD | SD |
| | 2125000 | 274431 | 2110000 | 455561 | 2233333 | 187315 | 128878 |
| | | ohne EDTA 1 | | ohne EDTA 2 | | ohne EDTA 3 | |
| | 330000 | 235000 | 330000 | 330000 | 540000 | 432500 | 332500 |
| | 180000 | | 230000 | | 610000 | | |
| | 110000 | SD | 400000 | SD | 350000 | SD | SD |
| | 320000 | 93408 | 360000 | 62849 | 230000 | 150727 | 80648 |
| | | HS1 | | HS2 | | HS3 | |
| | 1516666,67 | 1460417 | 800000 | 747500 | 1325000 | 1256250 | 1154722 |
| | 1525000 | | 740000 | | 1020000 | | |
| | 1280000 | SD | 680000 | SD | 1400000 | SD | SD |
| | 1520000 | 104206 | 770000 | 44371 | 1280000 | 142976 | 299770 |
| | | ohne Fe 1 | | ohne Fe 2 | | ohne Fe 3 | |
| | 240000 | 222500 | 190000 | 172500 | 140000 | 155000 | 183333 |
| | 280000 | | 220000 | | 130000 | | |
| | 90000 | SD | 150000 | SD | 190000 | SD | SD |
| | 280000 | 78222 | 130000 | 34911 | 160000 | 22913 | 28602 |
| | | 1/10 HS 1 | | 1/10 HS 2 | | 1/10 HS 3 | |
| | 530000 | 567500 | 1616667 | 1764583,33 | 1070000 | 1407500 | 1246527,78 |
| | 620000 | | 2000000 | | 1150000 | | |
| | 540000 | SD | 1616667 | SD | 1550000 | SD | SD |
| | 580000 | 35620 | 1825000 | 160335 | 1860000 | 318306 | 501788 |
| | | 1/10 Fe 1 | | 1/10 Fe 2 | | 1/10 Fe 3 | |
| | 170000 | 187500 | 230000 | 182500 | 220000 | 282500 | 217500 |
| | 180000 | | 150000 | | 430000 | | |
| | 200000 | SD | 110000 | SD | 270000 | SD | SD |
| | 200000 | 12990 | 240000 | 54486 | 210000 | 88141 | 46007 |

| 06.07.2015 | | ideal1 | | Ideal 2 | | Ideal 3 | Mit | telwert |
|------------|---------|-------------|---------|-------------|---------|-------------|-----|---------|
| 14 | 4375000 | 4718750 | 2225000 | 2366667 | 4000000 | 3333333 | | 3472917 |
| | 4500000 | | 2450000 | | 2800000 | | | |
| | 4850000 | SD | 2425000 | SD | 3200000 | SD | SD | |
| | 5150000 | 303817 | | 100692 | | 498887,652 | | 965293 |
| | | ohne EDTA 1 | | ohne EDTA 2 | | ohne EDTA 3 | | |
| | 330000 | 235000 | 330000 | 330000 | 540000 | 440000 | | 335000 |
| | 180000 | | 230000 | | 610000 | | | |
| | 110000 | SD | 400000 | SD | 350000 | SD | SD | |
| | 320000 | 93408 | 360000 | 62849 | 260000 | 140890 | | 83766 |
| | | HS1 | | HS2 | | HS3 | | |
| | 5600000 | 5566667 | 3725000 | 3300000 | 5200000 | 4733333 | | 4533333 |
| | 5100000 | | 3100000 | | 4450000 | | | |
| | 6000000 | SD | 3075000 | SD | 4550000 | SD | SD | |
| | | 368179 | | 300694 | | 332499 | | 936107 |
| | | ohne Fe 1 | | ohne Fe 2 | | ohne Fe 3 | | |
| | 2225000 | 2525000 | 200000 | 187500 | 130000 | 155000 | | 955833 |
| | 2675000 | | 150000 | | 170000 | | | |
| | 2275000 | SD | 280000 | SD | 80000 | SD | SD | |
| | 2925000 | 289396 | 120000 | 60570 | 240000 | 58523 | | 1109648 |
| | | 1/10 HS 1 | | 1/10 HS 2 | | 1/10 HS 3 | | |
| | 870000 | 923333 | 5150000 | 4416667 | 4700000 | 4750000 | | 3363333 |
| | 950000 | | 4200000 | | 4400000 | | | |
| | 950000 | SD | 3900000 | SD | 5150000 | SD | SD | |
| | | 37712 | | 532812 | | 308221 | | 1730699 |
| | | 1/10 Fe 1 | | 1/10 Fe 2 | | 1/10 Fe 3 | | |
| | 200000 | 236667 | 200000 | 233333 | 780000 | 733333 | | 401111 |
| | 280000 | | 220000 | | 780000 | | | |
| | 230000 | SD | 280000 | SD | 640000 | SD | SD | |
| | | | | | | | | |

| 10.07.2015 | | ideal1 | | Ideal 2 | | Ideal 3 | Mit | telwert |
|------------|----------|-------------|---------|-------------|---------|-------------|-----|---------|
| Tag 18 | 4150000 | 5000000 | 2450000 | 2641667 | 9250000 | 6375000 | | 4672222 |
| | 4900000 | | 2750000 | | 4800000 | | | |
| | 5250000 | SD | 2725000 | SD | 5075000 | SD | SD | |
| | 5700000 | 566789 | | 135913 | | 2036030 | | 1541649 |
| | | ohne EDTA 1 | | ohne EDTA 2 | | ohne EDTA 3 | | |
| | 380000 | 310000 | 350000 | 332500 | 540000 | 497500 | | 380000 |
| | 250000 | | 240000 | | 380000 | | | |
| | 270000 | SD | 290000 | SD | 450000 | SD | SD | |
| | 340000 | 52440 | 450000 | 78222 | 620000 | 90657 | | 83591 |
| | | HS1 | | HS2 | | HS3 | | |
| | 10650000 | 9800000 | 7100000 | 7383333 | 6450000 | 6300000 | | 7827778 |
| | 9650000 | | 6850000 | | 6150000 | | | |
| | 9100000 | SD | 8200000 | SD | 6300000 | SD | SD | |
| | | 641613 | | 586420 | | 122474 | | 1463022 |
| | | ohne Fe 1 | | ohne Fe 2 | | ohne Fe 3 | | |
| | 2300000 | 2306250 | 390000 | 500000 | 370000 | 345000 | | 1050417 |
| | 2975000 | | 540000 | | 400000 | | | |
| | 1925000 | SD | 440000 | SD | 400000 | SD | SD | |
| | 2025000 | 409792 | 630000 | 92466 | 210000 | 78899 | | 890260 |
| | | 1/10 HS 1 | | 1/10 HS 2 | | 1/10 HS 3 | | |
| | 1716667 | 1913889 | 6450000 | 6566667 | 6050000 | 6600000 | | 5026852 |
| | 1525000 | | 6900000 | | 7200000 | | | |
| | 2500000 | SD | 6350000 | SD | 6550000 | SD | SD | |
| | | 421765 | | 239212 | | 470815 | | 2201239 |
| | | 1/10 Fe 1 | | 1/10 Fe 2 | | 1/10 Fe 3 | | |
| | 530000 | 496667 | 200000 | 233333 | 2600000 | 2283333,33 | | 1004444 |
| | 470000 | | 220000 | | 2200000 | | | |
| | 490000 | SD | 280000 | SD | 2050000 | SD | SD | |
| | | 24944 | | 33993 | | 232140 | | 910679 |

| 13.07.2015 | | ideal1 | | Ideal 2 | | Ideal 3 | Mit | telwert |
|------------|----------|-------------|----------|-------------|---------|-------------|-----|---------|
| 20 | 4025000 | 4406250 | 2225000 | 2287500 | 9150000 | 7050000 | | 4581250 |
| | 4325000 | | 2425000 | | 5600000 | | | |
| | 4650000 | SD | 2450000 | SD | 6400000 | SD | SD | |
| | 4625000 | 254568 | 2050000 | 100692 | | 1520417 | | 1948216 |
| | | ohne EDTA 1 | | ohne EDTA 2 | | ohne EDTA 3 | | |
| | 220000 | 367500 | 380000 | 397500 | 610000 | 492500 | | 419167 |
| | 280000 | | 200000 | | 430000 | | | |
| | 430000 | SD | 640000 | SD | 540000 | SD | SD | |
| | 540000 | 125574 | 370000 | 157222 | 390000 | 87285 | | 53281 |
| | | HS1 | | HS2 | | HS3 | | |
| | 11400000 | 11600000 | 8250000 | 9400000 | 6550000 | 6600000 | | 9200000 |
| | 12150000 | | 9900000 | | 7200000 | | | |
| | 11250000 | SD | 10050000 | SD | 6050000 | SD | SD | |
| | | 393700 | | 815475 | | 470815 | | 2046135 |
| | | ohne Fe 1 | | ohne Fe 2 | | ohne Fe 3 | | |
| | 3125000 | 2575000 | 630000 | 580000 | 590000 | 552500 | | 1235833 |
| | 2450000 | | 570000 | | 470000 | | | |
| | 2325000 | SD | 540000 | SD | 540000 | SD | SD | |
| | 2400000 | 320644 | 580000 | 32404 | 610000 | 54025 | | 947000 |
| | | 1/10 HS 1 | | 1/10 HS 2 | | 1/10 HS 3 | | |
| | 3625000 | 3800000 | 8150000 | 8583333 | 7200000 | 7450000 | | 6611111 |
| | 3825000 | | 8400000 | | 7850000 | | | |
| | 3950000 | SD | 9200000 | SD | 7300000 | SD | SD | |
| | | 133853 | | 447834 | | 285774 | | 2040894 |
| | | 1/10 Fe 1 | | 1/10 Fe 2 | | 1/10 Fe 3 | | |
| | 510000 | 500000 | 320000 | 273333 | 2175000 | 2225000 | | 999444 |
| | 540000 | | 290000 | | 2400000 | | | |
| | 450000 | SD | 210000 | SD | 2100000 | SD | SD | |
| | | 37417 | | 46428 | | 127475 | | 871525 |

| 14.07.2015 | | ideal1 | | Ideal 2 | | Ideal 3 | Mit | telwert |
|------------|----------|-------------|----------|-------------|---------|-------------|-----|---------|
| 21 | 4375000 | 4668750 | 2675000 | 2516667 | 9150000 | 7050000 | | 4745139 |
| | 4850000 | | 2450000 | | 5600000 | | | |
| | 4950000 | SD | 2425000 | SD | 6400000 | SD | SD | |
| | 4500000 | 238075 | | 112423 | | 1520417 | | 1851514 |
| | | ohne EDTA 1 | | ohne EDTA 2 | | ohne EDTA 3 | | |
| | 530000 | 357500 | 480000 | 400000 | 380000 | 550000 | | 435833 |
| | 200000 | | 500000 | | 670000 | | | |
| | 320000 | SD | 280000 | SD | 510000 | SD | SD | |
| | 380000 | 118822 | 340000 | 92736 | 640000 | 115109 | | 82572 |
| | | HS1 | | HS2 | | HS3 | | |
| | 11500000 | 11183333,3 | 9750000 | 10416667 | 7250000 | 6400000 | | 9333333 |
| | 11150000 | | 10900000 | | 6050000 | | | |
| | 10900000 | SD | 10600000 | SD | 5900000 | SD | SD | |
| | | 246080 | | 487055 | | 604152 | | 2097662 |
| | | ohne Fe 1 | | ohne Fe 2 | | ohne Fe 3 | | |
| | 2225000 | 2643750 | 620000 | 587500 | 560000 | 550000 | | 1260417 |
| | 2875000 | | 540000 | | 430000 | | | |
| | 2725000 | SD | 510000 | SD | 680000 | SD | SD | |
| | 2750000 | 248354 | 680000 | 66849 | 530000 | 89163 | | 978284 |
| | | 1/10 HS 1 | | 1/10 HS 2 | | 1/10 HS 3 | • | |
| | 3825000 | 4008333 | 9800000 | 8833333 | 7400000 | 7766667 | | 6869444 |
| | 4175000 | | 8150000 | | 8300000 | | | |
| | 4025000 | | 8550000 | | 7600000 | SD | SD | |
| | | 143372 | | 702772 | | 385861 | | 2069446 |
| | | 1/10 Fe 1 | | 1/10 Fe 2 | | 1/10 Fe 3 | | |
| | 450000 | 480000 | 220000 | | 2450000 | 2358333 | | 1017222 |
| | 500000 | | 190000 | | 2325000 | | | |
| | 490000 | | 230000 | | 2300000 | | SD | |
| | | 21602 | | 16997 | | 65617 | | 954537 |

Daten von Diacronema lutheri 14.09.-02.10.2015

| 21.09.2015 | | ideal1 | | Ideal 2 | | Ideal 3 | Mittelwert |
|------------|----------------|-------------|----------------|-------------|--------|-------------|------------|
| Tag 7 | 130000 | 137500 | keine Zellen e | rkennbar | 190000 | 150000 | 143750 |
| | 100000 | | | | 180000 | | |
| | 150000 | SD | | | 110000 | SD | SD |
| | 170000 | 25860 | | | 120000 | 35355 | 6250 |
| | | ohne EDTA 1 | | ohne EDTA 2 | | ohne EDTA 3 | |
| | 270000 | 275000 | 150000 | 262500 | 190000 | 275000 | 270833 |
| | 180000 | | 210000 | | 410000 | | |
| | 340000 | SD | 350000 | SD | 210000 | SD | SD |
| | 310000 | 60208 | 340000 | 85257 | 290000 | 86458 | 5893 |
| | | HS1 | | HS2 | | HS3 | |
| | keine Zellen e | rkennbar | 550000 | 642500 | 540000 | 580000 | 611250 |
| | | | 640000 | | 520000 | | |
| | | | 760000 | SD | 540000 | SD | SD |
| | | | 620000 | 75622 | 720000 | 81240 | 31250 |
| | | ohne Fe 1 | | ohne Fe 2 | | ohne Fe 3 | |
| | 80000 | 105000 | 90000 | 192500 | 300000 | 195000 | 164167 |
| | 210000 | | 220000 | | 190000 | | |
| | 70000 | SD | 150000 | SD | 150000 | SD | SD |
| | 60000 | 61033 | 310000 | 81968 | 140000 | 63443 | 41850 |

| 23.09.2015 | | ideal1 | | Ideal 2 | | Ideal 3 | Mittelwert |
|------------|----------------|-------------|----------------|-------------|--------|-------------|------------|
| 9 | 510000 | 497500 | keine Zellen e | rkennbar | 540000 | 557500 | 527500 |
| | 480000 | | | | 640000 | | |
| | 410000 | SD | | | 420000 | SD | SD |
| | 590000 | 64566 | | | 630000 | 88424 | 30000 |
| | | ohne EDTA 1 | | ohne EDTA 2 | | ohne EDTA 3 | |
| | 430000 | 485000 | 470000 | 520000 | 630000 | 507500 | 504167 |
| | 540000 | | 570000 | | 480000 | | |
| | 480000 | | 520000 | | 540000 | | SD |
| | 490000 | 39051 | 520000 | 35355 | 380000 | 90933 | 14482 |
| | | HS1 | | HS2 | | HS3 | |
| | keine Zellen e | rkennbar | 500000 | 627500 | 600000 | 560000 | 593750 |
| | | | 630000 | | 570000 | | |
| | | | 760000 | SD | 600000 | SD | SD |
| | | | 620000 | 92026 | 470000 | 53385 | 33750 |
| | | ohne Fe 1 | | ohne Fe 2 | | ohne Fe 3 | |
| | 90000 | 95000 | 320000 | 170000 | 170000 | 150000 | 138333,333 |
| | 190000 | | 200000 | | 170000 | | |
| | 60000 | SD | 70000 | SD | 80000 | SD | SD |
| | 40000 | 57663 | 90000 | 99750 | 180000 | 40620 | 31710 |

| 25.09.2015 | | ideal1 | | Ideal 2 | | Ideal 3 | Mittelwert |
|------------|--------|-------------|---------|-------------|---------|-------------|------------|
| Tag 11 | 390000 | 425000 | | | 640000 | 656667 | 540833 |
| | 310000 | | | | 700000 | | |
| | 510000 | SD | | | 630000 | SD | |
| | 490000 | 80467 | | | | 30912 | 115833 |
| | | ohne EDTA 1 | | ohne EDTA 2 | | ohne EDTA 3 | |
| | 720000 | 540000 | 640000 | 606667 | 620000 | 576667 | 574444 |
| | 630000 | | 610000 | | 570000 | | |
| | 270000 | | 570000 | | 540000 | | |
| | | 194422 | | 28674 | | 32998 | 27262 |
| | | HS1 | | HS2 | | HS3 | |
| | | | 1625000 | 1628333 | 1230000 | 1230000 | 952778 |
| | | | 1500000 | | 1320000 | | |
| | | | 1760000 | | 1140000 | | |
| | | | | 106171 | | 73485 | 199167 |
| | | ohne Fe 1 | | ohne Fe 2 | | ohne Fe 3 | |
| | 560000 | 533333 | 760000 | 680000 | 720000 | 720000 | 644444 |
| | 440000 | | 720000 | | 810000 | | |
| | 600000 | | 560000 | | 630000 | | |
| | | 67987 | | 86410 | | 73485 | 80247 |

| 28.09.2015 | | ideal1 | | Ideal 2 | | Ideal 3 | Mittelwert |
|------------|---------|-------------|---------|-------------|---------|-------------|------------|
| Tag 14 | 1775000 | 1725000 | | | 1800000 | 2116667 | 1920833 |
| | 1750000 | | | | 2300000 | | |
| | 1650000 | SD | | | 2250000 | SD | |
| | | 54006 | | | | 224846 | 195833 |
| | | ohne EDTA 1 | | ohne EDTA 2 | | ohne EDTA 3 | |
| | 1500000 | 1641667 | 1800000 | 1775000 | 1700000 | 1816667 | 1744444 |
| | 1825000 | | 2125000 | | 1733333 | | |
| | 1600000 | | 1400000 | | 2016667 | | |
| | | 135913 | | 296507 | | 142075 | 74639 |
| | | HS1 | | HS2 | | HS3 | |
| | | | 3225000 | 3606250 | 2775000 | 3006250 | 3306250 |
| | | | 3050000 | | 3950000 | | |
| | | | 4550000 | | 2350000 | | |
| | | | 3600000 | 579972 | 2950000 | 586935 | 300000 |
| | | ohne Fe 1 | | ohne Fe 2 | | ohne Fe 3 | |
| | 550000 | 633333 | 700000 | 1066667 | 750000 | 883333 | 861111 |
| | 725000 | | 1125000 | | 950000 | | |
| | 625000 | | 1375000 | | 950000 | | |
| | | 71686 | | 278638 | | 94281 | 177604 |

| 30.09.2015 | | ideal1 | | Ideal 2 | | Ideal 3 | Mittelwert |
|------------|---------|-------------|---------|-------------|---------|-------------|------------|
| Tag 16 | 1700000 | 2008333 | | | 2250000 | 2383333 | 2195833 |
| | 1775000 | | | | 2900000 | | |
| | 2550000 | SD | | | 2000000 | SD | |
| | | 384238 | | | | 379327 | 187500 |
| | | ohne EDTA 1 | | ohne EDTA 2 | | ohne EDTA 3 | |
| | 2150000 | 2283333 | 2000000 | 2033333 | 1850000 | 2125000 | 2147222 |
| | 2450000 | | 2075000 | | 2425000 | | |
| | 2250000 | | 2025000 | | 2100000 | | |
| | | 124722 | | 31180 | | 235407 | 103265 |
| | | HS1 | | HS2 | | HS3 | |
| | | | 3125000 | 3625000 | 2475000 | 3162500 | 3393750 |
| | | | 4200000 | | 3125000 | | |
| | | | 3725000 | | 3450000 | | |
| | | | 3450000 | 394097 | 3600000 | 432471 | 231250 |
| | | ohne Fe 1 | | ohne Fe 2 | | ohne Fe 3 | |
| | 1020000 | 1033333 | 1120000 | 1063333 | 1200000 | 1036667 | 1044444 |
| | 910000 | | 940000 | | 1180000 | | |
| | 1170000 | | 1130000 | | 730000 | | |
| | | 106562 | | 87305 | | 217000 | 13426 |

| 02.10.2015 | | ideal1 | | Ideal 2 | | Ideal 3 | Mittelwert |
|------------|---------|-------------|---------|-------------|---------|-------------|------------|
| Tag 18 | 1700000 | 1641667 | | | 2550000 | 2650000 | 2145833 |
| | 1575000 | | | | 2675000 | | |
| | 1650000 | SD | | | 2725000 | SD | |
| | | 51370 | | | | 73598 | 504167 |
| | | ohne EDTA 1 | | ohne EDTA 2 | | ohne EDTA 3 | |
| | 2375000 | 2033333 | 1850000 | 2141667 | 1825000 | 2041667 | 2072222 |
| | 1875000 | | 1950000 | | 1725000 | | |
| | 1850000 | | 2625000 | | 2575000 | | |
| | | 241810 | | 344198 | | 379327 | 49222 |
| | | HS1 | | HS2 | | HS3 | |
| | | | 3300000 | 3258333 | 3675000 | 3425000 | 3341667 |
| | | | 3025000 | | 3250000 | | |
| | | | 3450000 | | 3350000 | | |
| | | | | 175989 | | 181430 | 83333 |
| | | ohne Fe 1 | | ohne Fe 2 | | ohne Fe 3 | |
| | 780000 | 923333 | 1180000 | 1043333 | 980000 | 970000 | 978889 |
| | 1010000 | | 1010000 | | 1090000 | | |
| | 980000 | | 940000 | | 840000 | | |
| | | 102089 | | 100775 | | 102307 | 49391 |